

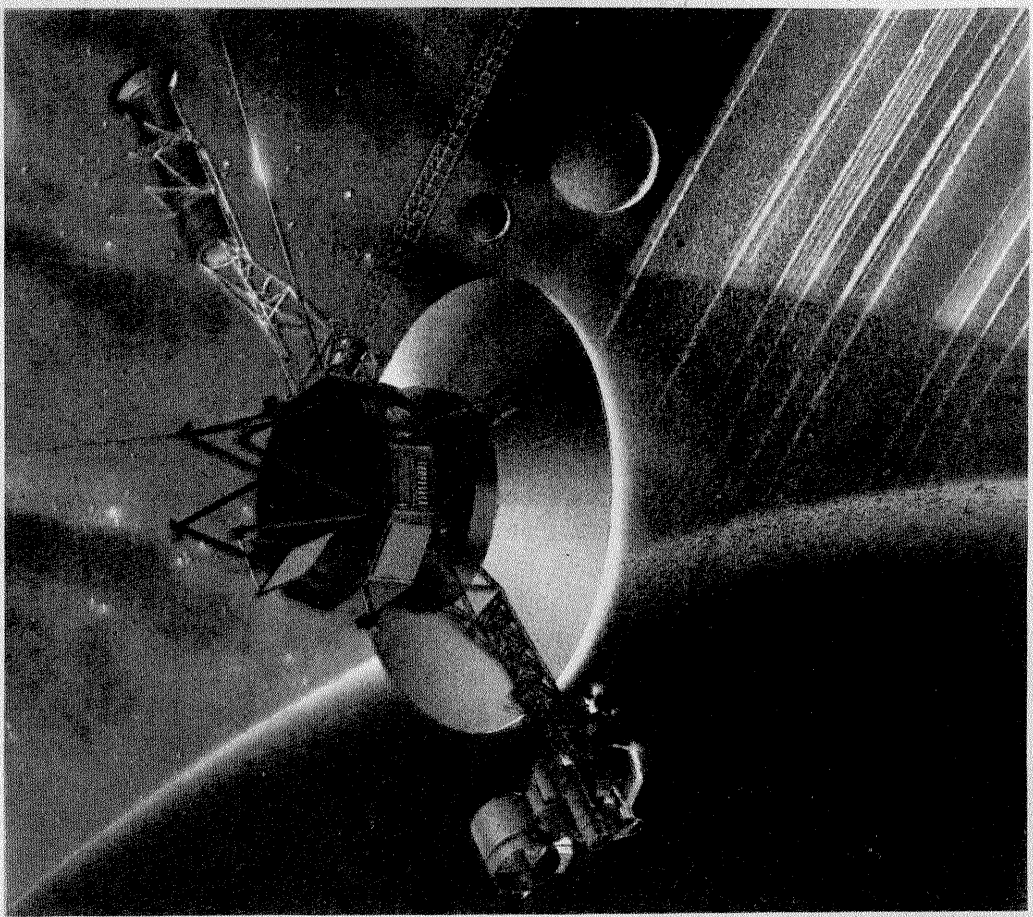
TEHNiUM

REVISTĂ LUNARĂ EDITATĂ DE C.C. AL U.T.C. ANUL XVIII - NR. 216 11/88

CONSTRUCȚII PENTRU AMATORI

SUMAR

LUCRAREA PRACTICĂ DE BACALAUREAT	pag. 2—3
Cronometru	
Sistemul DOLBY B	
INITIERE ÎN RADIOELECTRONICĂ	pag. 4—5
Surse de curent constant	
Indicatoare de tensiune	
CQ-YO	pag. 6—7
Etaje RF de putere	
Cheie pentru manipulatoare	
HI-FI	pag. 8—9
Circuite integrate de audio-	
frecvență	
LABORATOR	pag. 10—11
Multimetru	
INFORMATICĂ	pag. 12—13
Calculatorul electronic între	
două generații	
Apelul telefonic controlat de	
calculator	
ATELIER	pag. 14—15
Dispozitiv de rotire a	
antenelor	
LOCUINȚA NOASTRĂ	pag. 16—17
Consumul rațional de energie:	
Încălzirea locală	
CITITORII RECOMANDĂ	pag. 18—19
Zar electronic	
Oscilator cu rețea dublu T	
Pompă de cositor	
Aeroionizator pentru autove-	
hicule	
FOTOTEHNICĂ	pag. 20—21
Expotemporizator	
REVISTA REVISTELOR	pag. 22—23
Alimentator	
Releu de timp	
Oscilator	
Amplificator	
Antenă pentru 144 MHz	
Adaptor audio	
SERVICE	pag. 24
Radioreceptorul MONIKA	



MULTIMETRU

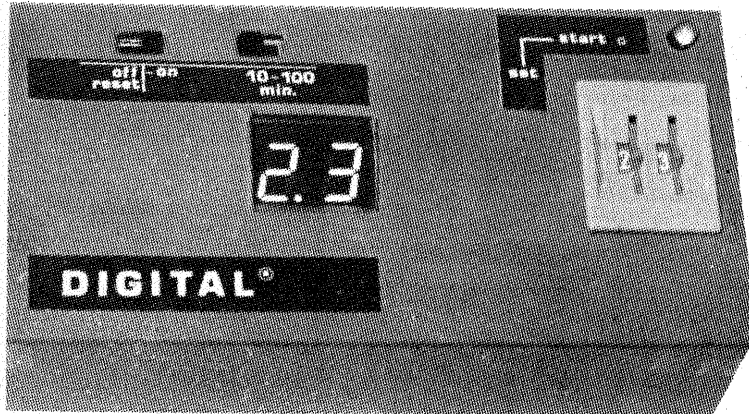
(CITIȚI ÎN PAG. 10—11)

LUCRAREA PRACTICĂ DE BACALAUREAT

CRONOMETRU

Montajul descris în continuare realizează temporizări între 1 s și 99 minute. Destinația sa principală este expunerea și dezvoltarea materialelor fotosensibile. Prezetarea intervalului de timp se face cu două comutatoare decadică, iar afișarea timpului rămas pînă la sfîrșitul intervalului cronometrat este realizată cu două afișaje cu LED-uri vizibile și în întunericul laboratorului fotografic. La terminarea cronometrării, un releu anclanșează și execută, optional, stingerea becului aparatului de mărit sau acționarea pentru cîteva secunde a unui semnalizator sonor.

Aparatul dispune de trei domenii de lucru: 1 — 99 s; 0,1—9,9 minute

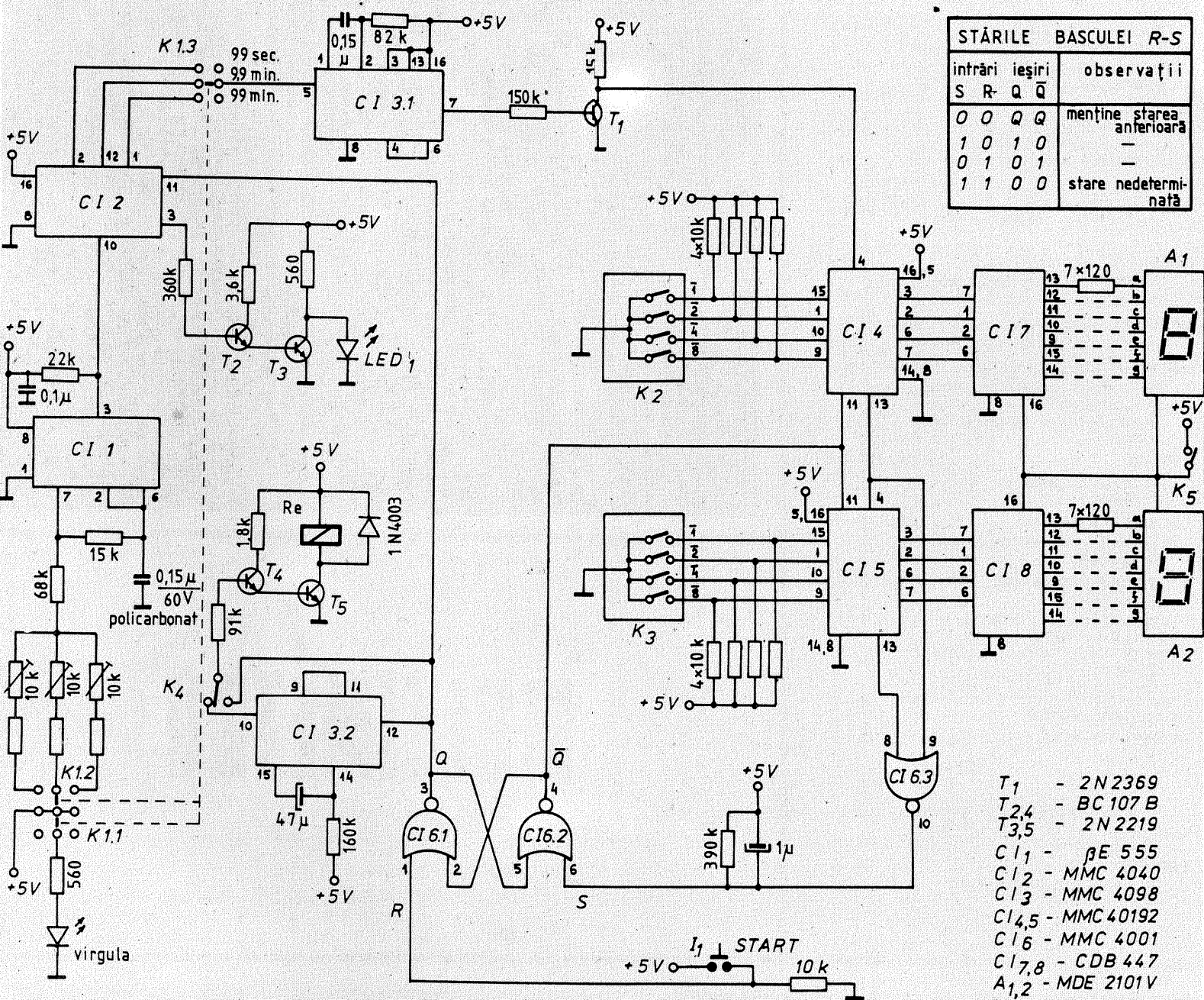


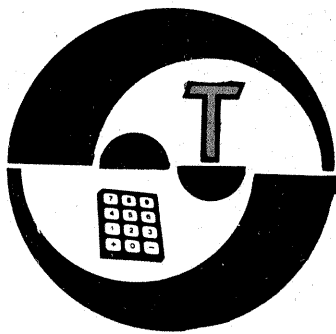
GH. BĂLUȚĂ, E. CĂRBUNESCU

și 1—99 minute. Precizia obținută este estimată la 0,25%.

Schela montajului este prezentată în figura alăturată. Oscilatorul realizat cu CI1 (β E555) asigură generarea unor impulsuri cu perioada de 15,625 ms; 11,71875 ms sau 14,64844 ms, în funcție de domeniul de lucru selectat. Multiplicată de 64; 512 sau 4 096 ori în CI2, perioada impulsurilor devine 1 s, 6 s sau 60 s.

Selectate de comutatorul K1.3, impulsurile sunt aplicate monostabilului CI3.1. Fiecare front negativ declanșează generarea unui scurt impuls negativ (cca 5 ms) la ieșirea monostabilului. Un tranzistor (T_1) inversează polaritatea impulsului,





TRTIERE ÎN RADIOELECTRONICĂ

SURSE DE CURENT CONSTANT

(URMARE DIN NR. TRECUT)

În afara aspectului formal, de „eleganță” sau „simetrie”, această constatare poate deveni și un prețios instrument practic de depistare și evaluare comparativă a unor proprietăți trecute în general cu vedere sau cunoscute numai pentru una din cele două categorii de surse. Cîteva exemple de acest fel sunt sintetizate în tabelul alăturat, lista putând fi completată, bineînteleles, cu numeroase alte proprietăți duale. Vom comenta foarte pe scurt datele din tabel, lăsându-i cititorului plăcerea de a le aprofunda și a le verifica în practică.

a) Noi am definit, de fapt, sursele de curent prin proprietatea că intensitatea I a curentului este independentă de rezistența de sarcină R , dar acest lucru revine la a spune că I este independentă de tensiunea U la bornele lui R . Reprezentind grafic, pe baza relației (4), familia generatoarelor pentru care raportul E/r este constant și egal cu I_0 , sursa de curent (figura 7, dreapta 4) devine tocmai paralela la axa OU dusă prin punctul ($U = 0$; $I = I_0$).

b) Proprietățile definitoare impun, într-adevăr, condițiile teoretice menționate ($r = 0$, respectiv $r = \infty$) pentru ca sursa (de tensiune/de curent) să fie „universal” valabilă, adică pentru orice domeniu de variație a rezistenței de sarcină, R .

c) În aplicațiile practice se cu-noase de regulă, măcar orientativ, domeniul de variație a rezistenței de sarcină R , condițiile indicate fiind astfel suficiente, cu precizările suplimentare de la punctele g și h. Oricum, în practică nu am putea opera cu $r = 0$ și $r = \infty$.

d) Pericolul asupra căruia ne atrage atenția dualismul în cazul sursei de curent este real, dar el nu se referă la sursa propriu-zisă, ci la elementele circuitului extern de sarcină. Într-adevăr, atunci cînd circuitul extern este închis, tensiunea la bornele rezistenței R are valoarea $U = R \cdot I_0$, controlată prin intermediu curentului constant I_0 . Dacă, însă rezistența R este deconectată (sau se întârpe accidental), la bornele sursei vom regăsi tensiunea E , care, avind valoarea mare, este adeseori periculoasă pentru eventuale alte componente conectate în circuitul extern sau chiar pentru izolația acestui circuit.

De exemplu, sursa de curent din figura 8 este folosită pentru măsurarea rezistențelor R în gama $0 \div 10$ k Ω , cu indicație liniară pe scara unui voltmetru c.c. de 1 V, avînd rezistență internă $R_i = 10 M\Omega$ (voltmetru electronic). Se observă că la deconectarea rezistenței R , sursa rămîne practic în circuit deschis ($R_i > r$), la bornele voltmetrului de 1 V apărînd aproape întregă tensiunea E (de fapt $10 E/11 \approx 91$ V, tinînd cont de divizorul $r-R_i$ care se formează prin deconectarea lui R),

situatie indiscutabil periculoasă pentru instrument.

Se pune deci problema de a introduce în cazul sursei de curent un dispozitiv de protecție care să limiteze la o valoare maximă nepericuloasă, U_M , tensiunea la bornele în circuit deschis (fig. 9). Cea mai simplă metodă în acest sens constă în introducerea unei diode Zener D_Z la bornele sursei (fig. 10). Pentru valori mai mici ale pragului de limitare dorit, în locul diodei Zener se pot monta una sau mai multe diode în serie, în sensul conducerii. Pentru exemplul din figura 8, unde ne interesează plaja $0 \div 1$ V a tensiunii la bornele lui R , putem lua, de exemplu, un prag $U_M = 3$ V (realizabil cu o diodă Zener de 3 V).

e) Proprietățile rezultă direct din definiția sursei. Valorile limită admise pot fi deduse în funcție de eroarea maximă acceptată, conform precizărilor de la punctul h2.

f) Sunt mai bine cunoscute aceste proprietăți în cazul sursei de tensiune, unde conectarea în serie este frecvent utilizată pentru obținerea prin însumare a unor tensiuni dorite (mai ales de la baterii sau acumulatori), în schimb se evită pe cît posibil conectarea în paralel, admisibilă practic numai în cazul unor surse identice (valori egale ale forțelor electromotoare).

Dimpotrivă, sursele de curent proiectate pentru același domeniu al rezistenței de sarcină R pot fi conectate în paralel fără probleme, curentul rezultant prin sarcină fiind aproximativ egal cu suma curentilor (pe care i-ar fi debitat fiecare sursă în parte prin aceeași rezistență R). În particular, la conectarea în paralel a două surse de curent, $I_1 = E_1/r_1$ și $I_2 = E_2/r_2$ (fig. 11), intensitatea I a curentului rezultant prin sarcina R are expresia:

$$I = \frac{I_1 + I_2}{1 + R/r_1 + R/r_2} \quad (11)$$

și cum $R \ll r_1, R \ll r_2$ prin înșări definiția sursei de curent, rezultă

$$I \approx I_1 + I_2 \quad (12)$$

La conectarea în serie a două surse de curent, $I_1 = E_1/r_1$ și $I_2 = E_2/r_2$ (fig. 12), intensitatea I a curentului rezultant prin sarcină are expresia:

$$I = \frac{r_1 I_1 + r_2 I_2}{r_1 + r_2 + R} \approx \frac{r_1 I_1 + r_2 I_2}{r_1 + r_2} \quad (13)$$

deci nu avem de-a face cu o însumare a curentilor I_1 și I_2 , implicit nici cu însumarea căderilor de tensiune la bornele rezistenței de sarcină R .

În cazul particular cînd cele două surse sunt identice ($E_1 = E_2 = E$, $r_1 = r_2 = r$), intensitatea rezultanta devine:

$$I = I_1 = I_2 \quad (14)$$

deci conectarea surselor în serie nu modifică valoarea curentului E/r , însă sursa „compusă” este mai bună, avînd valori duble pentru E și r .

În general, nu se recomandă conectarea în serie a două surse de curent diferite, compunerea intensităților pe baza relației (13) putînd duce la rezultante inaceptabile pentru circuitul de sarcină.

g) Teoretic, în cazul unei surse de tensiune nu ar trebui să apară abateri (variații) de tensiune la borne atunci cînd se modifică rezistența de sarcină R . Practic însă, datorită rezistenței interne nenule, tensiunea U scade pe măsură ce R scade.

Analog, în cazul sursei de curent, o dată cu creșterea rezistenței de sarcină R (scăderea conductanței G), scade și intensitatea curentului debitat, deoarece rezistența internă r nu este infinită.

Expresiile duble ale erorii relative

maxime, deduse pe baza relațiilor (5) și (9), ne ajută să stabilim cît de precisă este o sursă dată de tensiune/curent pentru o anumită valoare minimă a rezistenței/conductanței de sarcină. S-a notat:

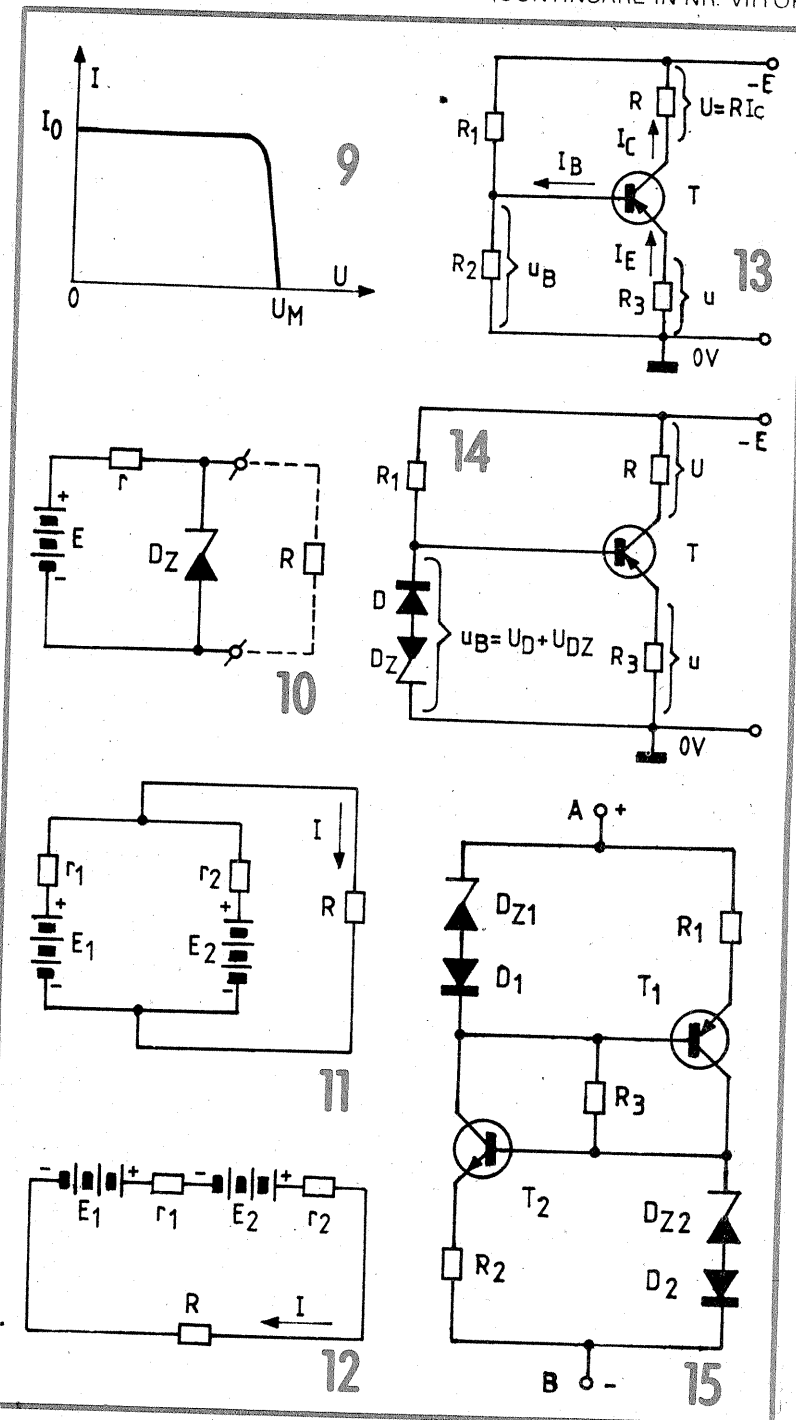
$$G_{\min} = 1/R_{\max} \quad (15)$$

h) Calitatea, mai bine zis precizia unei surse de tensiune/de curent, nu este dată numai prin construcția sursei (valorile E , r , respectiv I_0 , r), ea depinzînd esențial și de domeniul în care variază rezistența/conductanța de sarcină. La proiectarea unui circuit practic de utilizare se va face deci distincție între cele două probleme diferite care se pot pune: alegerea unei surse adecvate pentru un domeniu de variație al lui R (G) dat (h_1), respectiv stabilirea domeniului acceptabil de variație al lui R (G) pentru o sursă dată (h_2).

Evident, s-a notat:

$$g_{\max} = 1/r_{\min} \quad (16)$$

(CONTINUARE IN NR. VIITOR)



Indicatorul descris poate fi utilizat și pentru valori U_{max} mai mari, în particular pentru acumulatori auto cu tensiunea nominală de 12 V. În acest caz va trebui să considerăm U_{max} de cel puțin 14,4 V, mai bine chiar de 15 V, pentru orice eventualitate. Diferența dintre noua valoare (15 V) și vechea valoare (7,75 V) a lui U_{max} , de 7,25 V, va fi atribuită, desigur, elementului „balast” D^* , care în acest caz va trebui să preia cca 1,55 V + 7,25 V = 8,8 V. De exemplu, D^* poate fi o combinație serie de diode de tip DRD1 — DRD4 și 1N4001 — 1N4007 sau, mai simplu, un simulator de diodă Zener de putere, asa cum vom vedea mai departe (există și diode Zener adecvate acestui scop, dar deocamdată ele sunt mai greu accesibile constructorilor amatori).

Ecartul domeniului util de indicație, care era anterior de 7,75 V — 3,25 V = 4,5 V, rămâne astfel neschimbăt, dar în noua situație el va corespunde unei variații a tensiunii U între $U_{max} = 15$ V și $15 - 4,5$ V = 10,5 V, ceea ce poate să nu satisfacă în anumite situații practice (de exemplu, în cazul unei baterii uzate sau insuficient încărcată, tensiunea la borne scade semnificativ sub 10,5 V la activarea demarorului).

Pentru extinderea ecartului de indicație avem la dispoziție, în principal, două soluții, anume mărirea corespunzătoare a numărului de LED-uri (implicit și a numărului de diode din divizor), cu calculul asemănător al rezistențelor de limitare, respectiv mărirea treptelor de indicație prin sortarea în divizor a unor diode cu căderi mai mari de tensiune, eventual prin înlocuirea diodelor D_1 – D_5 cu dublette de diode inseriate. Prima soluție pare neavantajosă (mărirea numărului de LED-uri și diode implică sporirea gabaritului, a costului și consumului de curent, ca să nu mai vorbim de dificultatea sortării componentelor), asa că vom reține cea de-a doua soluție, constând în mărirea treptelor de indicație.

Exemplul din figura 2, care ilustrează acest procedeu, a fost calculat pentru valoarea maximă a tensiunii de $U_{max} = 15$ V și pentru un ecart al plajei U de indicație de 7,3 V, respectiv între $U_{max} = 15$ V și $U_{min} = 7,70$ V. Numarul LED-urilor a fost redus de la șase la cinci, în schimb treptele de indicație au fost crescute de la 0,75 V la 1,45 V. S-au considerat de data aceasta diodele D_1 – D_8 cu o cădere medie de tensiune de cca 0,725 V (1,45 V per dublet), lăru la fel de ușor de realizat prin sortare din serile 1N4001—1N4007, ținând cont de curentul maxim solicitat ceva mai redus.

Calculul rezistențelor de limitare R_1 – R_5 este asemănător exemplului precedent, fiind considerate și de data aceasta LED-uri cu tensiunea directă de cca 2 V pentru curentul maxim de cca 20 mA și cu stingeră completă la cca 1,7 V. La fel ca în figura 1, s-au notat în partea de sus a schemei potențialele punctelor de joncție din divizor pentru situația extremă $U = U_{max} = 15$ V, iar în partea de jos pragurile tensiunii U corespunzătoare aproximativ stingerii complete a LED-urilor.

Făcând bilanțul căderilor de tensiune indicate pe diodele D_1 – D_8 , rezultă că elementul „balast” D^* trebuie să preia de data aceasta cca 6 V la maximum 5×20 mA = 100 mA. Pentru a evita sortarea unor diode (redresoare sau de referință) care inseriate să conducă la această valoare, putem apela foarte simplu la montajul ilustrat în figura 3, care reprezintă un simulator de diodă Zener de putere.

Tranzistorul T , de tip npn (oricare din serile BD135, BD137, BD139), are baza „forțată” la potențialul $U - U_Z$ față de masă (minus), deci în emitorul său vom regăsi o tensiune cu U_{BE} mai mică,

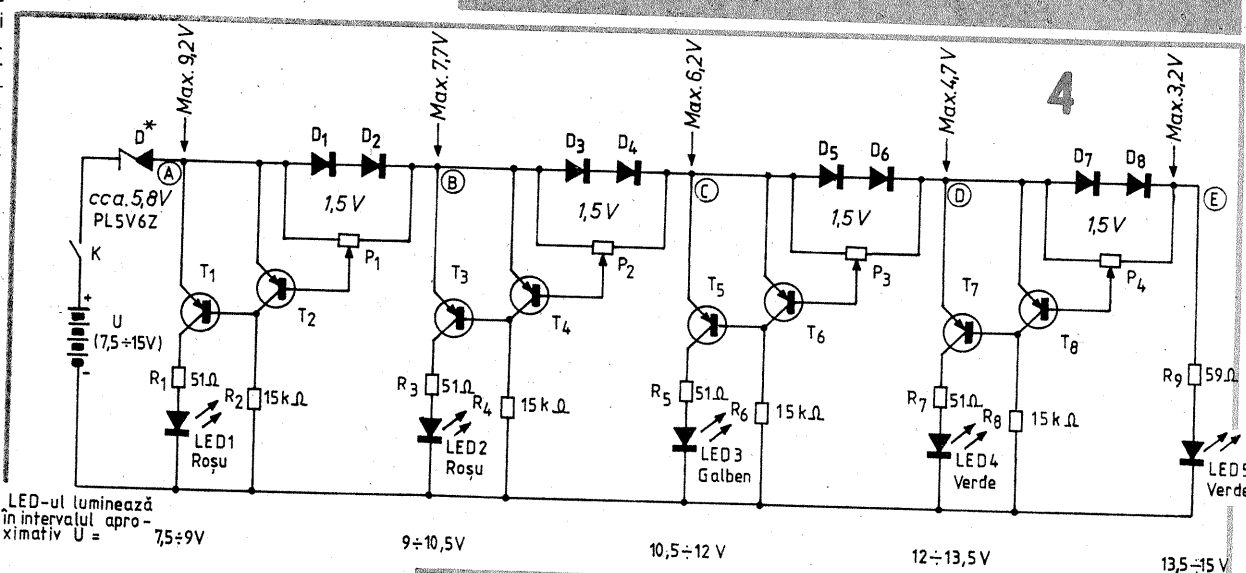
$$U_S = U - U_Z - U_{BE}$$

care va fi tocmai tensiunea disponibilă la bornele rezistenței de sarcină R_S . Prin urmare, căderea totală de tensiune pe elementul „balast” T este:

$$\Delta U = U - U_S = U_Z + U_{BE}$$

unde U_{BE} (căderea pe joncție bază-emitor) poate fi considerată de cca 0,65 V.

Pentru a obține valoarea dorită $\Delta U \approx 6$ V, este suficient să sortăm o diodă Zener din serile PL5V6Z sau



LED-ul luminează în intervalul apro-

$$ximativ U = 7.5 \pm 9V$$

PL5V1Z având $U_Z \approx 5.35$ V. Rezistența R se calculează astfel ca la tensiunea U minimă preconizată (7,7 V), curentul prin dioda Zener să se afle încă în plaja garantată de stabilizare, respectiv să fie de cel puțin 5 mA în cazul de față. Rezultă:

$$R \leq (U_{min} - U_Z)/5 \text{ mA} = (7,7 - 5,35)/5 \text{ mA} = 470 \Omega.$$

Putem lăsa, de exemplu, $R = 360 \div 390 \Omega/1 \text{ W}$.

Tranzistorul T va fi montat pe un mic radiator din tablă de aluminiu, cu suprafața de cîțiva centimetri pătrați.

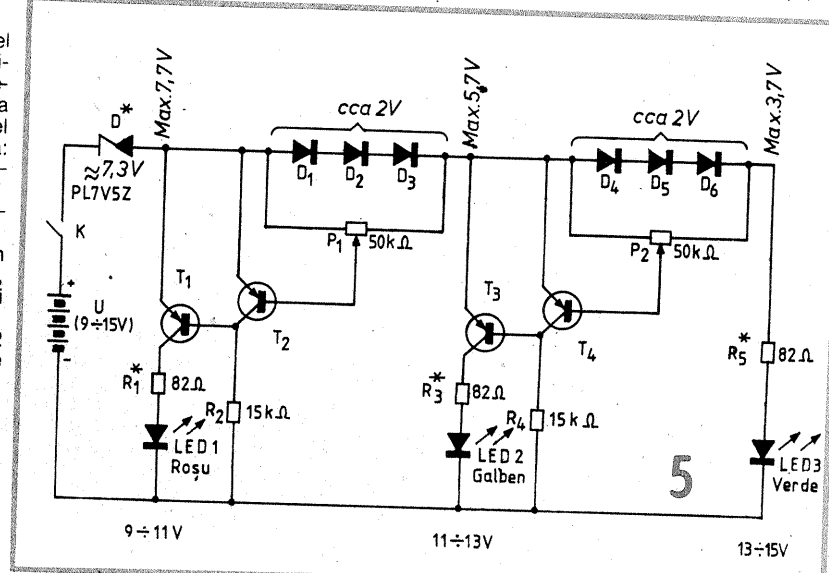
Varianta indicatorului din figura 2 poate fi ușor modificată pentru alte valori ale pragurilor de stingeră, suprimind după dorință cîte o diodă din grupurile de dublette. De exemplu, putem lăsa neafectate pragurile de stingeră pentru cele două LED-uri verzi și pentru LED-ul galben, ridicînd cu cca 0,725 V pragul LED-ului 2, respectiv cu cca 1,45 V pragul LED-ului 1. Aceasta se realizează suprimînd cîte o diodă din dublettele D_1 – D_2 și D_3 – D_4 și avind grijă să atribuim diferența de cca 1,45 V elementului balast D^* , care astfel va trebui să preia cca 7,45 V.

Indicatoroarele descrise funcționă neînălță, după cum am văzut, pe principiul „barei” luminoase, adică LED-urile sunt aprinse toate la maximum pentru $U = U_{max}$, începînd să se stîngă treptat, de la dreapta spre stînga, pe măsură ce U scade (învers, ele se aprind treptat de la stînga spre dreapta atunci cînd U crește). Dacă LED-urile sunt dispuse în linie, cît mai apropiate, variațiile tensiunii U vor fi astfel puse în evidență printr-o „bară” luminosă a cărei lungime variază corespunzător.

O altă soluție posibilă este aceea cu „punct” luminos mobil, poate fi materializat în nenumărate moduri, în funcție de componentele disponibile, de exigențele impuse, ca și de experiența și imaginația realizatorului. Există la ora actuală diverse tipuri de circuite integrate specializate care „stiu” să facă acest lucru, dar din păcate ele sunt deocamdată mai greu accesibile amatorilor. În cele ce urmează vom descrie o variantă foarte simplă, concepută cu componente discrete de uz curent și care, experimentată cu migală, a dat rezultate bune în cazul acumulatoarelor auto de 12 V (fig. 4).

Ca și în cazul montajelor precedente, aprinderea decalată a LED-urilor a fost asigurată cu ajutorul unui divizor de tensiune, realizat cu diodele D^* , D_1 – D_2 , D_3 – D_4 , D_5 – D_6 , D_7 – D_8 . Cei patru dublette pot fi alcătuiri din diode redresoare obișnuite (serile 1N4001—1N4007), sortate

INDICATOARE DE TENSIUNE



Am mentionat mai sus un mic decalaj (în tensiune) între stingeră completă a unui LED și aprinderea celui din stînga sa. Pe lîngă efectul plăcut, de „trenă”, acest artificiu mai are și rolul important de a nu permite ca, în intervalul de indicație ales, să existe accidental valori U pentru care toate LED-urile să fie stinse complet. O astfel de situație ar contrazice însuși scopul montajului — de indicator de tensiune — și, după cum vom vedea mai departe, ar putea deranja funcționarea normală și în alte zone ale plajei de indicație.

Principiul indicatorului descris, cu „punct” luminos mobil, poate fi materializat în nenumărate moduri, în funcție de componentele disponibile, de exigențele impuse, ca și de experiența și imaginația realizatorului. Există la ora actuală diverse tipuri de circuite integrate specializate care „stiu” să facă acest lucru, dar din păcate ele sunt deocamdată mai greu accesibile amatorilor. În cele ce urmează vom descrie o variantă foarte simplă, concepută cu componente discrete de uz curent și care, experimentată cu migală, a dat rezultate bune în cazul acumulatoarelor auto de 12 V (fig. 4).

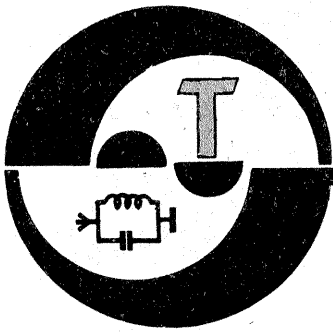
Ca și în cazul montajelor precedente, aprinderea decalată a LED-urilor a fost asigurată cu ajutorul unui divizor de tensiune, realizat cu diodele D^* , D_1 – D_2 , D_3 – D_4 , D_5 – D_6 , D_7 – D_8 . Cei patru dublette pot fi alcătuiri din diode redresoare obișnuite (serile 1N4001—1N4007), sortate

tate pentru o cădere de tensiune de cca 1,5 V per dublet la un curent de 20–25 mA, sau pot fi înlocuiri prin cîte o singură diodă de referință în direct, de tip DRD2 (sortate și acesete pentru cca 1,5 V la 20–25 mA).

Pentru a putea însă comanda stingeră LED-urilor în modul descris, acestea nu au mai fost alcătuiri direct (cu simple rezistențe de limitare), ci prin intermediul unor tranzistoare (T_1 , T_3 , T_5 , T_7), polarizate în conductie cu ajutorul rezistențelor R_2 , R_4 , R_6 , R_8 . Excepție face ultimul LED (5), a cărui stingeră nu ne creează probleme deoarece presupunem — și va trebui să ne asigurăm în practică de acest lucru — că tensiunea U nu va depăși niciodată valoarea maximă preconizată ($U_{max} = 15$ V). Prin urmare, putem alimenta pe LED5 direct din punctul E, avind grijă să dimensionăm rezistența de limitare R_9 astfel ca la $U = U_{max} = 15$ V, curentul prin el să aibă valoarea maximă de cca 20 mA.

Vom considera și de data aceasta LED-uri cu un curent maxim admis de 20 mA și cu o cădere de tensiune de cca 2 V la 20 mA, pentru care putem presupune o stingeră completă la cca 1,7 V (eventual sortare sau recalcularea rezistențelor R_1 , R_3 , R_5 , R_7 , R_9 , dar în orice caz verificare prealabilă pentru fiecare LED în parte).

(CONTINUARE ÎN NR. VIITOR)



ETAJE RF DE PUTERE

(URMARE DIN NR. TRECUT)

Tehnologia nu poate fi aplicată tuburilor de putere, care prin natura lucrurilor nu pot fi „miniaturizate”, și deci terminalele vor fi destul de lungi pentru a nu permite o funcționare satisfăcătoare.

Să supunem atenției unei scheme în contratimp perfect echilibrat (fig. 19). Observăm că prin inductanța comună a catodilor circulă suma curentilor celor două tuburi, dar deoarece acesteia sunt întotdeauna egali dar de semn contrar, efectul lor va fi nul (deci nu avem reacție). Dar atenție! Numai în cazul unui echilibru perfect, lucru care pretinde o simetrie foarte bună și tuburi identice. Pentru fiecare tub în parte se manifestă însă efectul de reacție legat de inductanțele de catod individuale. Această proprietate specială a etajelor simetrice sugerează o nouă posibilitate tehnologică în construcția tuburilor de putere, care să poată funcționa în domeniul UUS.

Astfel, tetroda dublă 829 (GU29) conține două unități identice realizate în același balon aflate la mică distanță, astfel încât distanța între cei doi catodi să fie minimă. În exterior este scos un singur terminal care pleacă de la centrul barei de legătură a catodilor.

Simetria celor două scheme electronice ale tubului este bună, iar condițiile de vid sunt identice. Îmbătrînirea progresivă este aceeași, astfel încât simetria se menține satisfăcător.

În figura 19 se mai observă o linie punctată de potențial nul (masă virtuală), o altă proprietate specială a acestor etaje. Aceasta permite realizări „fără punct de masă” exceptând alimentările în curent continuu, pe baza cărora se pot obține performanțe deosebite privind perturbările și sensibilitatea.

În cazul tuburilor de tip 829 rămâne totuști inductanța individuală a unei jumătăți din bara de legătură ce nu mai poate fi scurtată, motiv pentru care frecvența de lucru cu greu poate fi impinsă peste 200 MHz (atenție, performanțe valabile numai în contratimp).

Pentru împiedicarea oscilațiilor pe frecvențe înalte datorită inductanței firelor de legătură a ecranelor, acestea sunt decuplate intern printr-o capacitate de cca 70 pF construită în interiorul tubului. Decuplarea are loc direct la bara de legătură a catodilor.

Intrucât posibilitățile tehnologice ale acestui gen de construcție sunt în acest moment epuizate, mărirea frecvenței de lucru nu mai este posibilă urmând această cale.

Există însă și o altă cale de realizare a unui tub dublu, și anume construcția a două secțiuni simetrice în jurul unui catod comun (QQE 0,6/40, fig. 21). În plus, în interiorul balonului s-au mai realizat două capacitați de neutrondinare C_N , care leagă încrucișat grila de comandă a unei secțiuni cu anoda celeilalte. Valoarea acestor capa-

citări este aceeași prin construcție (pentru simetrie) și egală cu capacitatea C_{ag} proprie fiecărei secțiuni. Tipul acesta de neutrondinare realizează un echilibru perfect indiferent de frecvență, deci nu sunt necesare retușuri în funcție de frecvență de acord (capacitatea echivalentă a fiecărei secțiuni este $C_{ag} - C_N \approx 0$). S-ar părea că o asemenea construcție poate asigura lucrul la frecvențe extrem de înalte, întrucât inductanța din catod a fost desființată, precum și capacitatea C_{ag} .

(CONTINUARE ÎN NR. VIITOR)

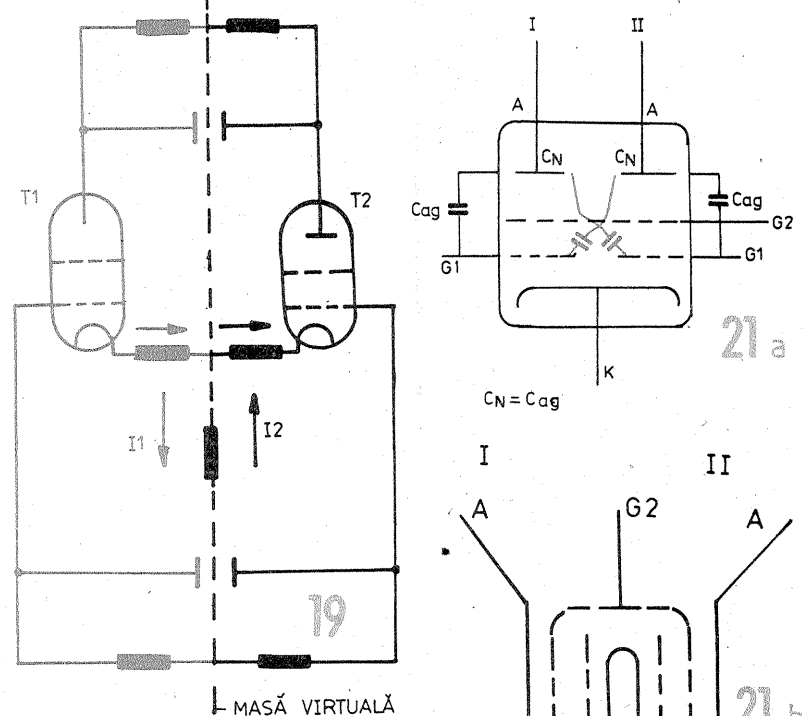


Fig. 19: Anularea efectului de reacție prin inductanța comună a catodilor la montajele în contratimp și formarea unei mase virtuale constituite de axa de simetrie.

Fig. 20: Construcția internă a tubului 829 (repräsentare schematică).

Fig. 21: Construcția schematică a tubului QQE 0,6/40 și o vedere în plan vertical a dispozitiei electroziilor celor două secțiuni.

CHEIE PENTRU MANIPULATOARE

Ing. LIVIU BELLU, YO4RCF, DUMITRU DOBRE, YO4CVZ

Cheia este compusă, după cum se poate vedea în desenul de ansamblu (vedere de sus), dintr-un corp, prezentat în două variante în desenul de ansamblu M-04, pe care se fixeză un suport prezentat în desenul M-08, suport de care sunt legate printr-un arc 35 (vezi tabelul de componentă, numărul poziției din tabelul de componentă fiind același cu numărul poziției din desenul de ansamblu și numărul de desen al elementelor componente) piesa mobilă 34 și portbraul 33 ce pot fi mișcate în dreapta și în stînga de brațul 32. Piesa mobilă 34 se sprijină pe suportul 8 prin intermediul a trei stifturi filetate 30 care își sprijină vîrfurile în trei locașe cu diametrul de 1,5 mm practicate în suportul 8. Portbraul 33 se poate mișca lateral între două limitatoare 23 fixate în două suporturi 26, permitindu-se reglarea pe poziție cu niște piulițe 22. Arcul 35 poate fi în-

tins sau poate fi slăbit cu ajutorul unui întinzător 7 prezentat în figura M-07 și al unei piulițe 6, centrată forței de acțiune pe piesa mobilă 34 realizându-se prin deplasarea suportului arcului de tracțiune 21 (bloarea pe poziție cu piuliță 20). Forța de revenire în poziția de zero se realizează cu două arcuri dispuse lateral de portbraul 33 pe limitatoarele 23, reglarea făcindu-se cu cîte o piuliță 27, iar blocarea pe poziție cu cîte o piuliță 28 asemănătoare (vezi figura M-27).

Contactele electrice în cele două părți sunt realizate între lamelele de contact 19 prevăzute cu o pastilă din argint (de la relee sau contactoare) și stifturile filetate 12, prevăzute la capul de contact cu o pastilă din argint sau cu o zonă cositorită. Stifturile filetate 12 se pot regla în niște suporturi contacte 16 și pot fi blocate pe poziție cu niște piulițe 11. Suporturile 16 sunt izolate elec-

tric față de corpul 4 cu ajutorul unui tub izolator 36 și al unor șaibe plate 15 confectionate din textolit sau alt material izolator (material plastic, carton etc.).

EXECUTAREA PĂRȚILOR COMPONELENTE

Pentru a nu apărea probleme la montaj este necesar să se respectă cu strictete cotele de execuție. Se va da o mare atenție executării găuriilor de fixare a două piese între ele astfel încât suruburile de trecere să se înfileze în găurile filetate din piesa de prindere, cum este cazul îmbinărilor dintre suportul 8 și corpul 4, dintre portbraul 33 și piesa mobilă 34 și dintre portbraul 33 și brațul 32. Găurile lungi, cu două zone de străpungere (dintre care una este filetată), se vor executa prin găuri dință singură trecere cu un burghiu avînd diametrul

egal cu diametrul interior al filetului, după care se va lărgi la una din zone la diametrul necesar și se va executa filetul în zona a două (asigurîndu-se astfel coliniaritatea celor două găuri). Această situație se regăsește la găurile din piesa mobilă 34 în care se înfilează suportul de arc 21 și la găurile din portbraul 33 pentru trecerea suruburilor 31 în vederea fixării brățului 32.

Pentru a reuși să se asigure fixarea exactă a vîrfurilor stifturilor 30 în locașurile din suportul 8, se vor da găurile prin corespondență în felul următor: prin piesa mobilă 34 se dau la cotele indicate în desenul M-34 trei găuri de 1 mm și gaura centrală de 8 mm, după care piesa mobilă se va suprapune peste suportul 8 și se va centra cu un stift de 8 mm, care va trece prin ambele piese, avîndu-se grijă ca axele de simetrie ale celor două piese să coincidă; cu un burghiu de 1 mm se vor executa locașurile adînci de 1,5 mm din suportul 8, după care piesele se vor separa și se vor executa celelalte operații. Trebuie amintit că în cazul în care stifturile 30 nu calcă exact în locașurile din suportul 8, cheia nu va putea funcționa exact, existînd în permanență un joc la trecerea dintr-o parte în alta, performanțele fiind mult diminuate. Întinzătorul de arc 7, suportul arcului 21, limitatoare 23, stifturile filetate 12 și 30 se vor executa din suruburi prin retezarea, capului și executarea celorlalte prelucrări necesare. Materialele indicate în tabelul de compo-

zui unor schimbări se va ține cont de rezistența mecanică a elementelor și necesitatea ca partea mobilă să fie cît mai ușoară.

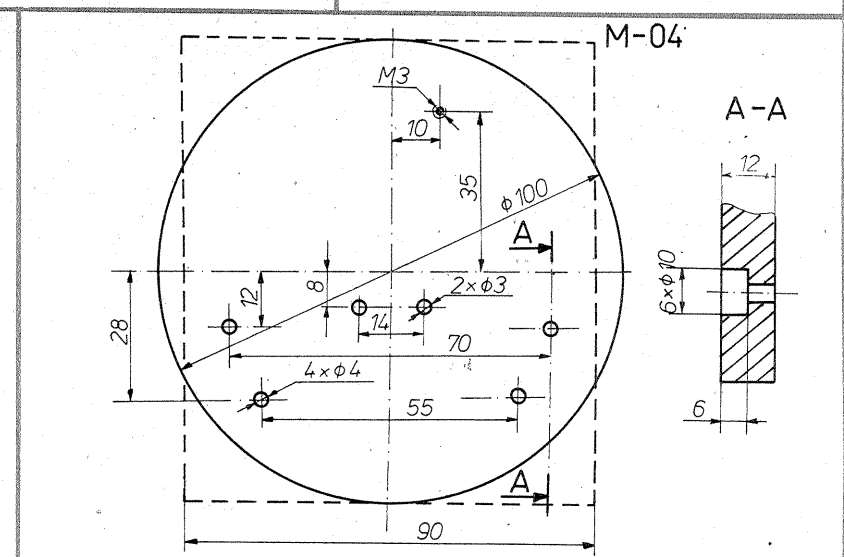
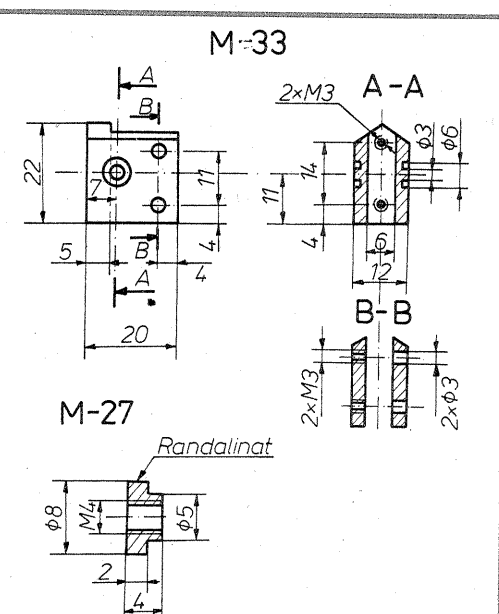
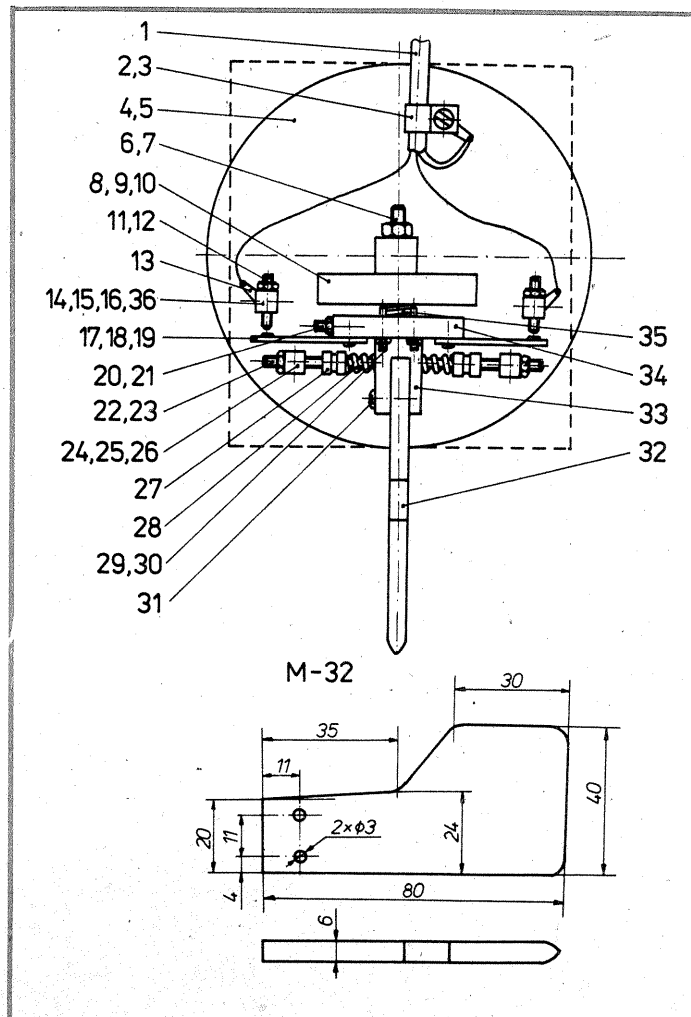
Operația de montare începe de la corpul 4 pe care se vor fixa suportul 8, suporturile limitatoarelor 26 și suporturile contactelor 16 cu izolatoarele 36 și 15 și papucii de contact 13. Separat se va monta capul central mobil format din piesa mobilă 34, portbrațul 33, brațul 32, șifurile filetate 30, suportul arcului de tractiune 21 și arcul de tractiune 35 și cele două lamele de contact 19. Pe suporturile limitatoarelor 26 se vor înfileta limitatoarele 23 pe care se vor introduce piulițele 27 și arcurile 28, avându-se grija ca distanța dintre limitatoare și dintre arcuri să fie mai mare decât grosimea portbrațului pentru a se ușura montarea. La arcul de tractiune 35 se va fixa întinzătorul de arc 7, care se va introduce în suportul 8, începându-se fixarea cu piulița 6, având grija că întinzătorul să nu se rotească, fapt care ar putea să ducă la torsionarea arcului și imposibilitatea de a se fixa capătul arcului de tractiune 35 în canalul practicat în suportul arcului 21. În final se vor înfileta și șifurile 12 în suporturile 16, se va fixa cablul de legătură 1 cu clema 3 de corpul 4 și se vor cositorii capetele cablului de papucii de contact 13, iar tresa se va lega la corpul 4.

Reglarea cheii începe prin stabilirea distanței de 3 mm între suportul 8 și piesa mobilă 34 cu ajutorul celor trei șifuri filetate 30. După ce se constată că cele două piese sunt paralele și la o distanță de 3 mm, se blochează șifurile 30 cu piulițele 29 și începe reglarea forței din arcul de tractiune 35 prin strângerea piuliței 6. Pentru aceasta se culcă pe o parte cheia, corpul central mobil inclinându-se în jos (limitatoarele 23, arcurile 28 și șifurile 12 vor fi în poziția retrasă pentru a ușura reglajele) și se va strîngi piulița 6 pînă cînd vîrful celui de-al treilea șift 30 va atinge locașul din suportul 8 (partea mobilă revine în poziția de zero). După acest reglaj se culcă cheia pe partea cealaltă și în cazul în care partea mobilă cade ușor, sau pentru a cădea este necesar un

anumit efort cu mîna, se regleză suportul de arc 21, urmărindu-se echilibrarea celor două poziții. În final trebuie să se ajungă la situația în care inclinind cheia într-o parte sau alta partea mobilă nu se mișcă, iar dacă pe braț se aşază o greutate de 2 g și într-o parte și în alta partea mobilă se înclină ușor, putînd spune în acest caz că echilibrarea generală este făcută.

În continuare se apropie limitatoarele 23 astfel încît să se limiteze deplasarea dreapta-stînga a brațului 32, alegîndu-se distanța de deplasare la capătul brațului între ± 2 mm pentru viteze mici de transmitere a semnalelor și $\pm 0,5$ mm pentru viteze mari. Cu ajutorul arcurilor 28 se va regla în continuare forța de manipulare necesară care trebuie să fie cuprinsă între 5 gf și 30 gf în

Singurele verificări care se fac sunt izolarelectrică dintre suporturile contactelor 16 și corpul 4 și inchiderea contactelor la acționarea brațului 32 al cheii, atît în dreapta, cît și în stînga. Dacă totul este în regulă se va cupla cheia la un manipulator automat și se va putea trece la lucru în trafic. Este bine ca reglarea cheii să se facă pentru viteza de transmitere pe care o folosește cel mai des radioamatorul, iar în cazul concursurilor de telegrafie sală pentru viteze mari de transmisie, reglajele de trecere de pe o viteză mică pe una mare sau invers fiind destul de anevoie (bineîntîles cînd se face o reglare de precizie, în cazul unei reglări aproximative fiind posibilă echilibrarea după experiența de manipulare a radioamatorilor). Trebuie precizat că un dezechilibru al părților mobile cu mai mult de 25% duce în cazul unei manipulări mai îndelungate la obosirea mînii, apariția unei stări de nervozitate și înmulțirea greșelilor de manipulare.



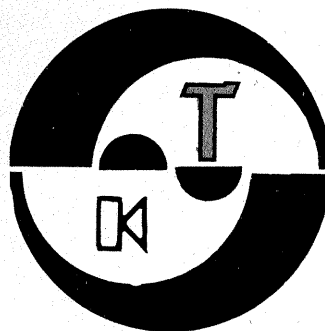
Poz	Denumirea	Nr. desen sau STAS	Buc	Material	Observații
36	Tub izolator		2	Plastic	$\phi 4 \times \phi 3 \times 5$
35	Arc tractiune D=7mm	STAS 7067-67	1	ARC 3	$H_0 = 12\text{ mm}$ $d = 0.8\text{ mm}$
34	Piesă mobilă	M-34	1	Bz 10	
33	Port braț	M-33	1	Bz 10	
32	Braț	M-32	1	Sticla organică	
31	Surub M3x12	STAS 3954-69	2	OL 42	
30	Șift filetat	M-30	3	OL 42	
29	Piuliță A-M3	STAS 922-77	3	OL 37	
28	Arc compresiune D=6	STAS 7067-67	2	ARC 3	$H_0 = 15\text{ mm}$ $d = 0.3\text{ mm}$
27	Piuliță M4	M-27	4	OL 37	
26	Suport limitator	M-26	2	Bz 10	
25	Șaibă grower UN3	STAS 7666/1-77	2	ARC 6A	
24	Piuliță A-M3	STAS 922-77	2	OL 37	
23	Limitator	M-23	2	OL 42	
22	Piuliță A-M3	STAS 922-77	2	OL 37	
21	Suport arc tractiune	M-21	1	OL 42	
20	Piuliță A-M3	STAS 922-77	1	OL 37	
19	Lamele contact		2	De la relee	
18	Surub M3x8	STAS 3954-69	2	OL 42	
17	Șaibă grower UN3	STAS 7666 1-77	2	ARC 6A	
16	Suport contact	M-16	2	Bz 10	
15	Șaibă plată	STAS 5200-72	4	Textolit	
14	Piuliță A-M3	STAS 922-77	2	OL 37	
13	Papuci contact	STAS 1596-71	3	CuZn30	Pentru M3
12	Șift filetat M3x15	STAS 4771-69	2	OL 42	
11	Piuliță A-M3	STAS 922-77	2	OL 37	
10	Surub M3x12	STAS 3954-77	2	OL 42	
9	Șaibă grower UN3	STAS 7666 1-77	2	ARC 6A	
8	Suport	M-08	1	Bz 10	
7	Intinzător arc	M-07	1	OL 42	
6	Piuliță A-M4	STAS 922-77	1	OL 37	
5	Suport corp	STAS 11419-80	1	Cauciuc	$\phi 100 \times 2$
4	Corp	M-04	1	Bz 10	
3	Clemă fixare cablu	STAS 1596-71	1	OL 37	Pentru M3
2	Surub M3x8	STAS 3954-69	1	OL 42	
1	Cablu ecranat		1	Dublu	
Poz		Denumirea	Nr. desen sau STAS	Buc	Material
Poz		Denumirea	Nr. desen sau STAS	Buc	Material

funcție de viteza de manipulare (forțe mai mari pentru viteze mai mari). Forța de manipulare se va regla prin culcarea cheii pe o parte, asezarea greutății dorite pe capătul brațului 32, greutatea va fi egală cu valoarea forței (de exemplu, 10 g pentru o forță de 10 gf) și strîngerea piulițelor 23 pînă cînd partea mobilă ajunge în poziția de zero. Se repetă și pentru partea cealaltă la fel. Reglajul se încheie prin apropierea șifurilor 12 de lamelele de contact 19 încît ele să nu se atingă, iar prin apăsarea brațului ele să se atingă și lamelele 19 să se deformeze puțin pentru a avea un contact electric sigur. Pe această poziție se vor strînge toate piulițele de blocare (20, 29, 22, 11 și contrapiulițele 27).

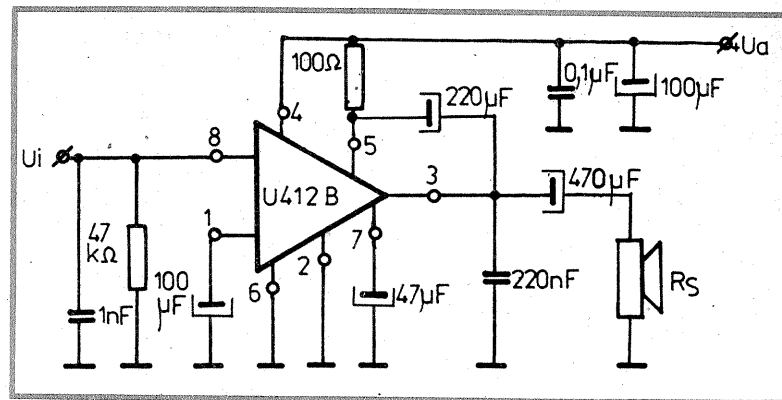
BIBLIOGRAFIE

- Iulius Șuli, Manipulator electronic cu circuite integrate și memorie, „Tehnium” nr. 3/1977, pag. 6.
- V. Ciobăniță, Manipulator electronic, „Tehnium” nr. 5/1981, pag. 6.
- C. Ciobăniță, Manipulator electronic, Almanah „Tehnium” 1985, 82-83.
- Radu Badea, Manipulator electronic, Almanah „Tehnium” 1986, pag. 146-147.
- Teofil Gheonea, Manipulator Morse cu memorie, „Tehnium” nr. 12/1987, pag. 6.
- Ovidiu Cucu, Manipulator cu memorie, Almanah „Tehnium” 1988, pag. 115-117.

(CONTINUARE ÎN PAG. 15)



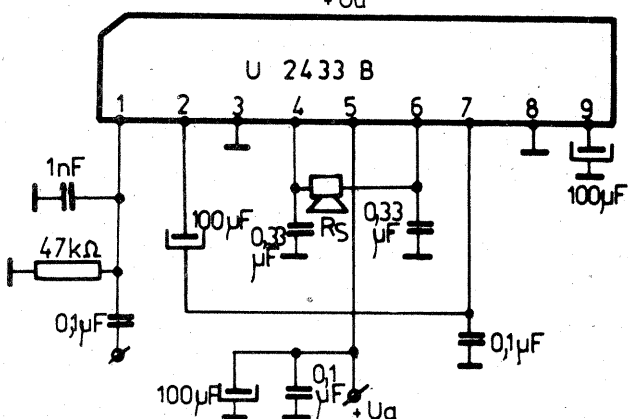
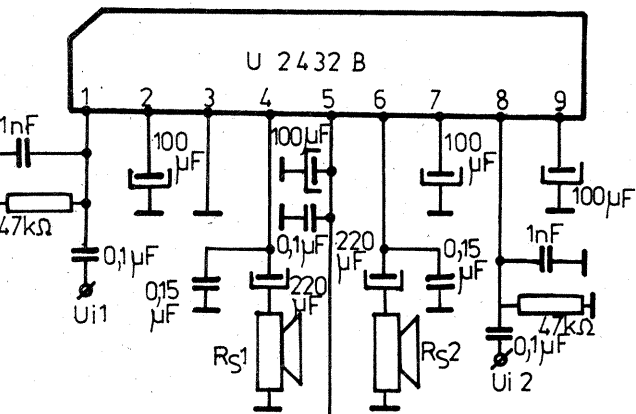
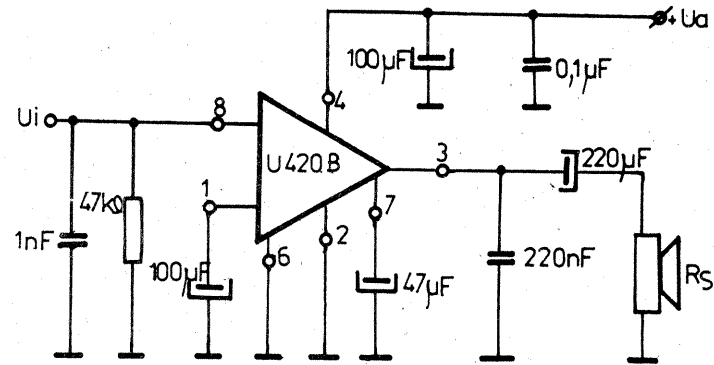
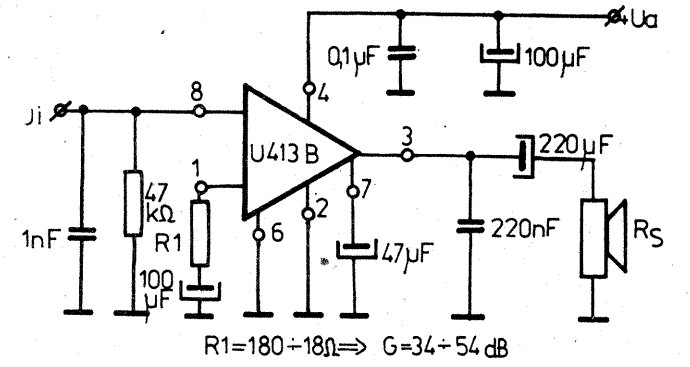
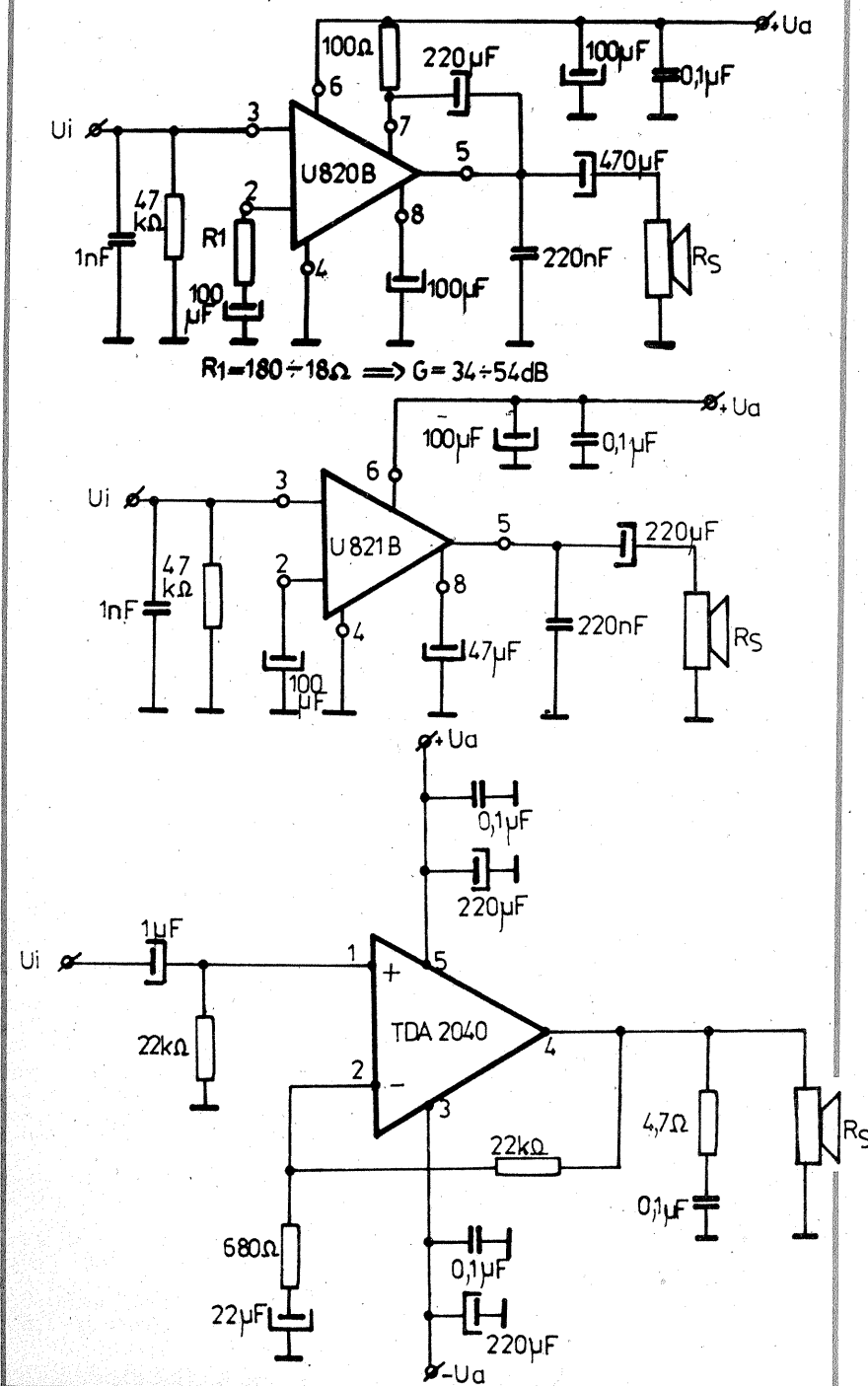
HT = PT

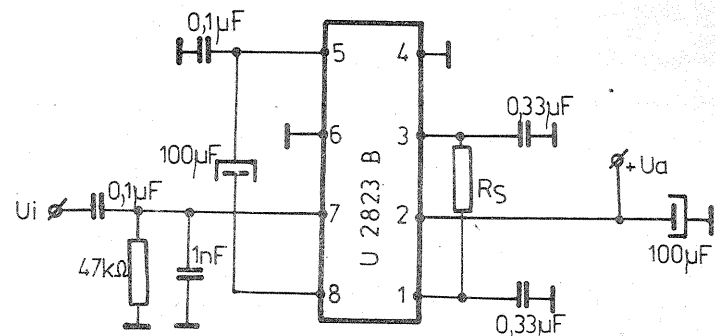
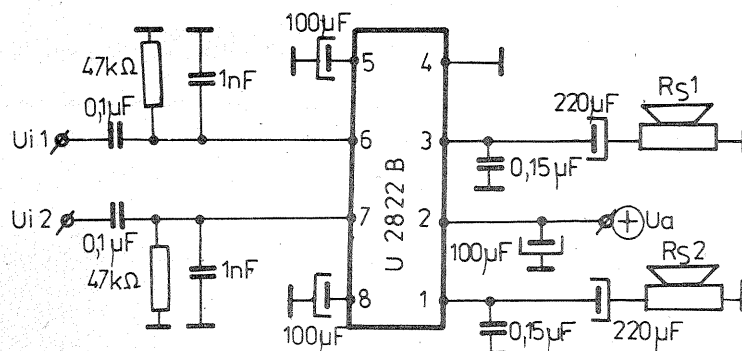


CIRCUITE INTEGRATE DE AUDIOFRECVENȚĂ

Ing. AURELIAN MATEESCU

În construcția radioceptoarelor, a casetofoanelor, magnetofoanelor, stațiilor de amplificare etc. se utilizează tot mai frecvent în ultimul timp circuite integrate, în special în partea de audiofrecvență. Pentru a veni în sprijinul amatorilor care dețin astfel de circuite și doresc să le utilizeze independent sau se confruntă cu depanarea unor aparat complexe care includ astfel de componente, prezentăm alăturat cîteva circuite integrate amplificatoare de audiofrecvență (produse ale firmei Telefunken), împreună cu schemele lor tipice de utilizare.





Indicativ	Tensiune alimentare (V)	Puterea de ieșire (W)	Ia f = 1 kHz THD = 10% U _a (V)	R _s (Ω)	Banda de frecvență (Hz)	Observații	Capsula
TBA800	5 ÷ 30	5	24	16	40 ÷ 20 000	THD = 0,3% pentru P _{OUT} = 0,05 ÷ 3 W	QIP special
TBA810S.T.	4 ÷ 25	7	16	4	40 ÷ 20 000	Cîștig 40 dB, P _{OUT} = 10 W la U _a = 14,4 V și R _s = 2 Ω	TO220,5 pini
TDA2003	8 ÷ 18	6	14,4	4	22 ÷ 22 000	G = 30 dB; f _{zgomot} = 3 μV	TO220,5 pini
TDA2006	±6 ÷ ±15	12	±12	4	22 ÷ 22 000	G = 30 dB; f _{zgomot} = 3 μV	TO220,5 pini
TDA2030	±6 ÷ ±18	18	±14	4	22 ÷ 22 000	f _{zgomot} = 3 μV	TO220,5 pini
TDA2040	±2,5 ÷ ±20	22	±16	4	22 ÷ 22 000	G = 42 dB	DIP8
U412B	3 ÷ 16	1,1	9	8	100 ÷ 28 000	DIP8	
U413B	3 ÷ 16	1	9	8	100 ÷ 28 000	DIP8	
U420B	3 ÷ 16	1	9	8	100 ÷ 28 000	DIP8	
U820B	3 ÷ 16	1,1	9	8	100 ÷ 28 000	DIP8	
U821B	3 ÷ 16	1	9	8	100 ÷ 28 000	DIP8	
U2822B	1,8 ÷ 10	2x0,2	4,5	8	P _{OUT} = 0,6 W în montaj puncte	DIP8	
U2823B	1,8 ÷ 10	2x0,2	4,5	8	P _{OUT} = 0,6 W în montaj puncte	DIP8	
U2432B	1,8 ÷ 8	2x0,22	6	16	P _{OUT} = 0,9 W în montaj puncte	SIP9	
U2433B	1,8 ÷ 8	2x0,22	6	16	P _{OUT} = 0,9 W în montaj puncte	SIP9	

sistemul Dolby B

(URMARE DIN PAG. 3)

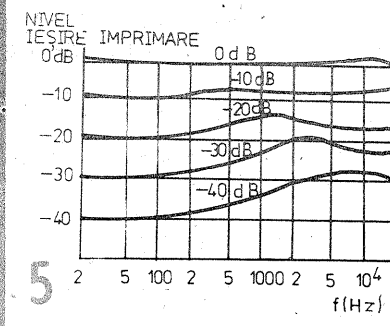
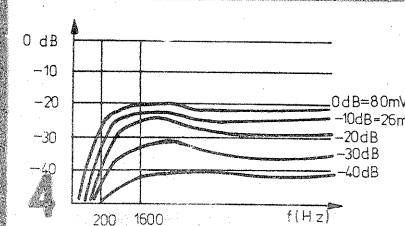
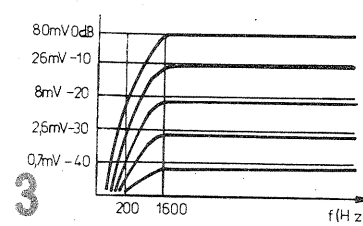
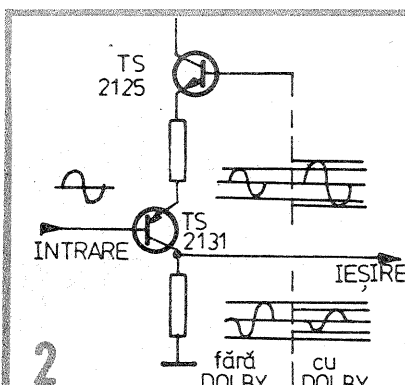
Trebuie specificat faptul că atunci cînd vorbim de nivel de 0 dB înseamnă nivelul maxim de modulație pe bandă, adică 80 mV la intrare în circuit (condensatorul C3159) sau 580 mV la ieșire (la condensatorul C3175). Vom descrie în continuare varianta cu componente discrete (fig. 1). Pentru mai bună înțelegere, să împărțim circuitul Dolby în două părți:

1) partea de amplificator, compusă din tranzistoarele TS2127, TS2125, TS2133, TS2131 și

2) partea de reglaj, compusă din tranzistoarele TS2129, TS2137, TS2143, TS2139, TS2143 și FET-ul TS2135.

Vorbind despre partea de amplificator, putem spune că aceasta are două etaje: TS2127 și TS2133 pentru înregistrare și TS2131 și TS2133 pentru redare. Amplificarea acestui etaj este de aproximativ 16 ori pentru un semnal de 0 dB. Tranzistorul TS2125 poate fi considerat ca injector de semnal. Semnalul provenit de la partea de reglaj este adăugat semnalului principal prin intermediul acestui tranzistor. Pe poziția „înregistrare”, faza semnalului principal este aceeași cu cea a semnalului de reglaj, astfel încît are loc o adunare de semnale. Pe poziția „redare”, semnalul de reglaj trebuie scăzut din semnalul principal pentru a regăsi semnalul original. Aceste lucruri se realizează în felul următor: semnalul din emitorul lui TS2131 este amplificat de partea de reglaj (aceasta și în cazul înregistrării). Dacă se culege semnalul din colectorul tranzistorului TS2131, are loc o scădere în loc de adunare, aceasta datorită faptului că în colector semnalul este defazat cu 180° în raport cu cel din bază sau emitor. Semnalul, fiind deci amplificat de către partea de reglaj (măsurat în emitorul lui TS2131), dă nastere unei atenuări a informației muzicale imprimate pe banda din colectorul lui TS2131 (datorită defazajului de 180°). Astfel, semnalul util revine la forma inițială, așa cum se arată în figura 2.

Funcționarea părții de reglaj de-

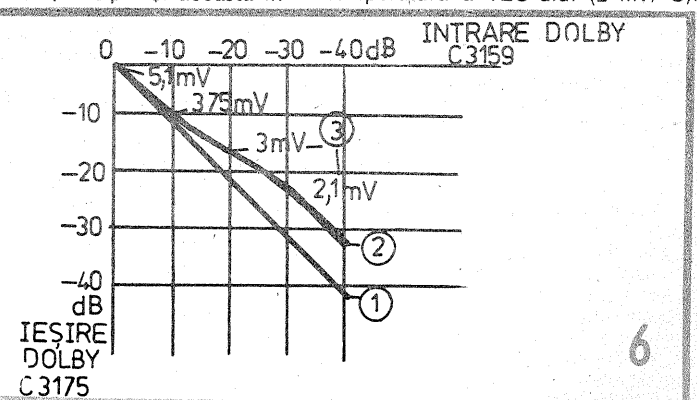


pinde de două variabile: frecvență și nivelul. Dependența de frecvență este limitată pentru că raportul semnal-zgomot la frecvențe joase este bun și în acest caz reglajul Dolby nu este necesar. Trecerea de la frecvențele joase la cele înalte trebuie să se facă treptat, acest lucru obținându-se cu ajutorul filtrului C3177, R4241, ca în figura 3. Dependența de nivel se obține după cum urmează: după grupul fix RC (R4241, C3177) găsim o rețea compusă din C3181 în paralel cu R4243 și apoi tranzistorul cu efect de cîmp TS2135. Această rețea este proiectată de asemenea manieră încît un semnal cu nivelul de -40 dB trece mai departe fără a fi modificat. Impedanța tranzistorului cu efect de cîmp este în acest caz maximă (ansamblul C3181, R4243 și TS2135 constituind un divizor de tensiune). Cînd semnalul începe să crească, tranzistorul se deschide mai mult și are loc o atenuare față de semnalul de -40 dB (care trecea nemodificat). Influenta acestui fenomen se vede clar în graficul din figura 4, care arată răspunsul ca nivel în frecvență al acestei rețele pentru semnale la intrarea ei de 0 dB, -10 dB, -20 dB, -30 dB și -40 dB.

Semnalul este apoi amplificat de către tranzistoarele TS2137 și TS2143 și aplicat în baza lui TS2125. După cum am mai spus, acest semnal de reglaj este adunat cu semnalul principal și această in-

fluență este arată în figura 6. Curba 1 reprezintă caracteristica rectilinie a părții de amplificare cînd comutatorul Dolby este deschis (partea de reglaj blocată, vezi figura 1). Curba 2 arată influența secțiunii de reglaj (comutatorul Dolby închis), iar tensiunile 3 sunt cele din baza lui TS2125. Se vede pe grafic că pentru un semnal de 0 dB avem 5,1 mV pe baza lui TS2125. Aceasta este foarte puțin, raportat la un semnal de 0 dB, astfel încît influența sa este neglijabilă. În cazul aplicării unui semnal de -30 dB în baza lui TS2125 găsim 2,1 mV, influența asupra semnalului principal fiind mult mai mare, între 5,1 mV și 2,1 mV avind un raport de 2,4, însă între 0 dB și -30 dB avem un raport de 31,3 ori. În figura 5 se indică forma preaccentuărilor în funcție de nivel.

Comanda tranzistorului cu efect de cîmp se face după cum urmează: semnalul din emitorul lui TS2143 este amplificat de către tranzistoarele TS2139 și TS2141. Acest etaj exercită o corecție de frecvență pentru a corespunde normei caracteristicii Dolby. Semnalul este apoi redresat de către diodele D2215 și D2213. Acest semnal continuu permite comanda tranzistorului cu efect de cîmp. Tot aici semnalul este filtrat pentru a regla în mod progresiv TEC-ul în cazul schimbărilor nivelului semnalului. Dioda D2211 servește la compensarea cu temperatură a TEC-ului (2 mV/°C).



MULTIMETRU

Ing. MILIAN OROS

O dată cu dezvoltarea tehnologiilor de producere a circuitelor integrate specializate, construcția aparatului digital de măsură și control nu mai constituie o problemă deosebită pentru electroniști amatori.

În cele ce urmează se prezintă schema unui multimetru digital având la bază circuitul integrat C520D, circuit ce realizează conversia tensiune-frecvență.

CARACTERISTICI TEHNICE

Multimetru măsoară următoarele mărimi electrice și de circuit:

- tensiune continuă în gama $0 \div 1000$ V;
- tensiune alternativă în domeniul de frecvență $10 \text{ Hz} \div 100 \text{ kHz}$ în gama $0 \div 1 \text{ kV}$;
- curent continuu și alternativ în gama $0 \div 1 \text{ A}$;
- rezistență în gama $0 \div 10 \text{ M}\Omega$.

Impedanță de intrare pe funcția de voltmetru este de minimum $1 \text{ M}\Omega/\text{V}$. Rezistență de intrare pe funcția de ampermetru: $0,1 \Omega$.

Precizia de măsurare pentru funcția de ohmmetru: $0,5 \div 1\%$.

Schela bloc a multimetrului este dată în figura 1, unde sunt arătate blocurile funcționale și interconectarea lor prin intermediul comutatoarelor de funcții.

Se constată din figură că pentru a măsura, de exemplu, curent alternativ, trebuie să trecem $K_{1a,b}$ pe poziția 2, $K_{2a,b}$ pe poziția 2 și K_3 pe poziția 1.

Întrucât constructorul amator poate realiza multimetru digital parțial sau total, prezentarea schemei electrice de principiu se va face pe blocuri funcționale, urmând ca interconectarea lor să se facă în conformitate cu schema din figura 1.

1. BLOCUL ATENUATOR (AT)

Blocul atenuator (fig. 2) cuprind un divisor rezistiv având factorul de divizare din $1/10$ în $1/10$ selectabil din comutatorul K_{4a} . Pe pozițiile 5 și 6 ale comutatorului K_{4a} se selectează tensiunea de referință și potențialul de masă necesar etalonării, respectiv verificării periodice a multimetrului. Reglarea factorilor de divizare se face din P_1 , P_2 și P_3 .

2. BLOCUL DE CONVERSIE CURENT-TENSIUNE (I/T)

Schela blocului (fig. 3) cuprind un amplificator neinvorsor cu cîstigul de 10. Elementul sesizor de curent este rezistența R_1 de $0,1 \Omega$. Această rezistență trebuie să fie de precizie și să nu prezinte inductanță. Ea se realizează din nichelină, constantan etc., sub formă unui fir simplu întins.

Pentru constructorii care nu țin neapărat să realizeze o rezistență de intrare de $0,1 \Omega$, întregul bloc se înlocuiește, conform figurii 3a, cu o simplă rezistență de 1Ω de precizie, neinductivă.

3. BLOCUL DE CONVERSIE TENSIUNE ALTERNATIVĂ-TENSIUNE CONTINUĂ (CA/CC)

Schela electrică a acestui bloc (fig. 4) cuprind un redresor monoalternanță fără prag. Nu se insistă asupra funcționării acestui bloc întrucât redresoarele de acest tip au fost prezentate (vezi revista „Tehnium” 1, 2, 3, 4/1985).

Din potențiometrul P_1 se va stabili, în funcție de dorință constructorului, dacă aparatul va măsura tensiune efectivă, de virf sau medie, ținând seama că pentru o tensiune alternativă de formă sinusoidală există relațiile: $U_{ef} = U/2$ și $U_{med} = U/\pi$.

Cind cursorul potențiometrului P_1 se află la capătul legat la catodul diodei D_1 , aparatul va măsura tensiunea de virf (U).

Condensatorul C_1 trebuie să fie nepolarizat.

4. BLOCUL DE MĂSURARE A REZIȘTELELOR (Rx)

Blocul (fig. 5) cuprind o sursă de tensiune negativă de referință, realizată cu tranzistorul T_1 și elementele aferente, un grup de rezistențe etalon R_3, R_4, R_5, R_6, R_7 selectabile prin intermediul comutatorului K_{4b} și un amplificator operational de tipul $\beta M108C$. Toate rezistențele etalon vor fi de precizie, preferabil sub 1%.

In cazul în care constructorul amator nu posedă circuitul $\beta M108C$, se poate realiza și cu circuitul $\beta A741$, dar se va introduce corecția de offset absolut necesară în acest caz.

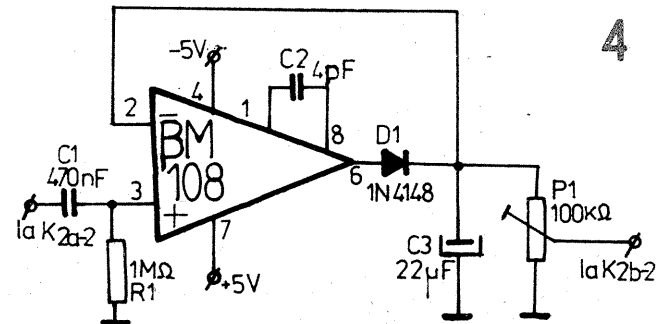
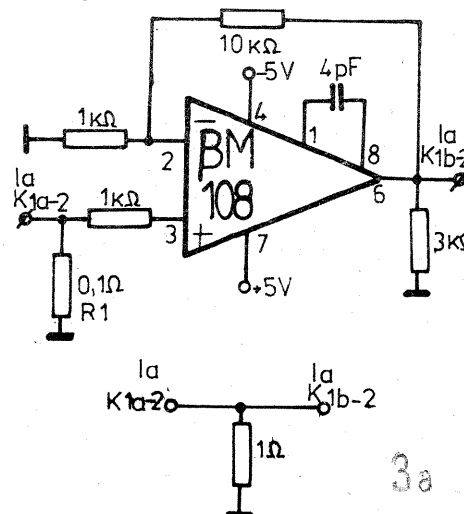
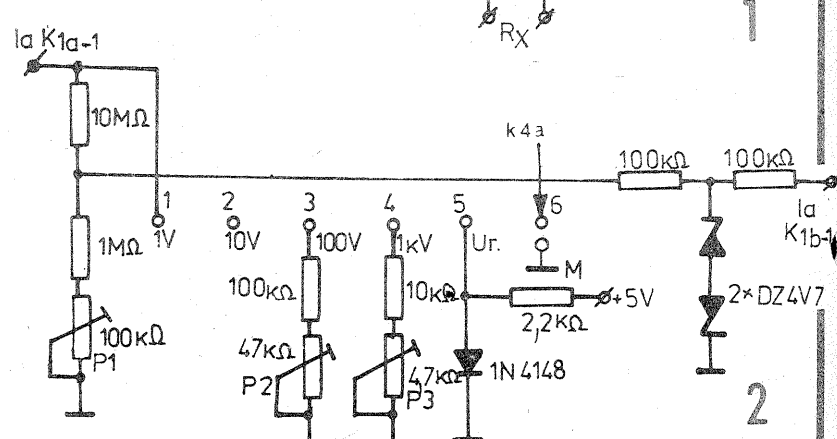
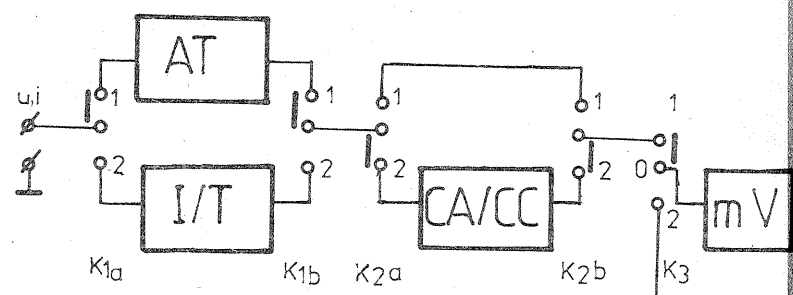
Reglarea acestui bloc constă în a stabili din potențiometrul P_1 o tensiune pe emitorul lui T_1 de -1 V .

5. MILIVOLTMETRUL DIGITAL (mV)

Acest bloc (fig. 6) cuprind un convertor tensiune-frecvență integrat de tipul C520D, un circuit de decodificare binar/7 segmente de tipul CDB447 și trei elemente de afisare cu LED-uri de tipul TIL 303, 302 etc.

Reglajul acestui bloc se face cu ajutorul potențiometrelor P_1 și P_2 . Se scurtcircuitează borna K_3 (0) la masă și se regleză P_1 astfel ca afişajul să indice „000”. Se ridică scurtcircuitul și se aplică pe intrarea K_3 (0) o tensiune de 999 mV , apoi se regleză P_2 astfel încât afişajul să indice „999”.

Blocul este prevăzut cu posibilitatea de a memora valoarea măsurată la un moment oarecare prin trecerea comutatorului K_5 pe poziția 1.



6. BLOCUL DE ALIMENTARE

Acest bloc (fig. 7) cuprind un transformator de sonerie, un redresor monoalternanță și un stabilizator electronic la ieșirea căruia este tensiunea dublă $\pm 5 \text{ V}$.

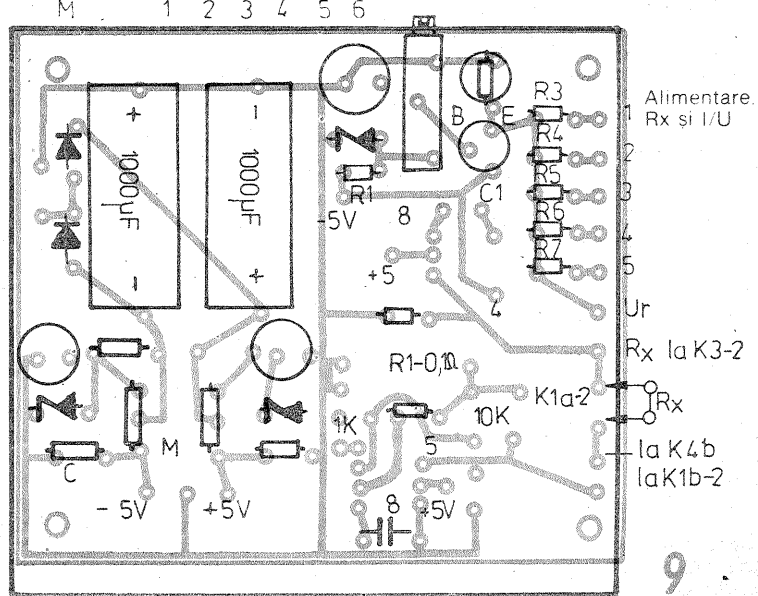
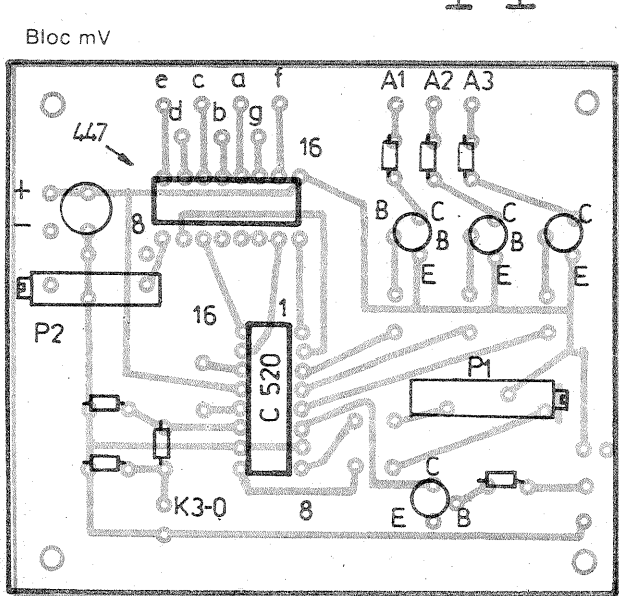
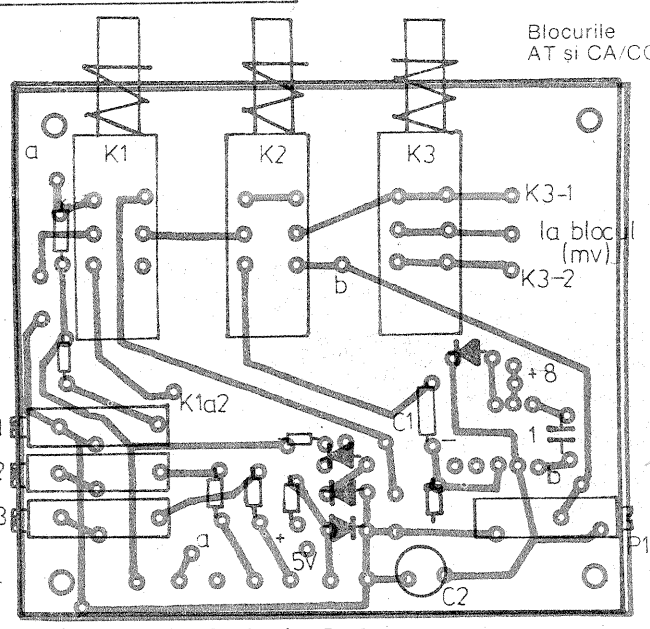
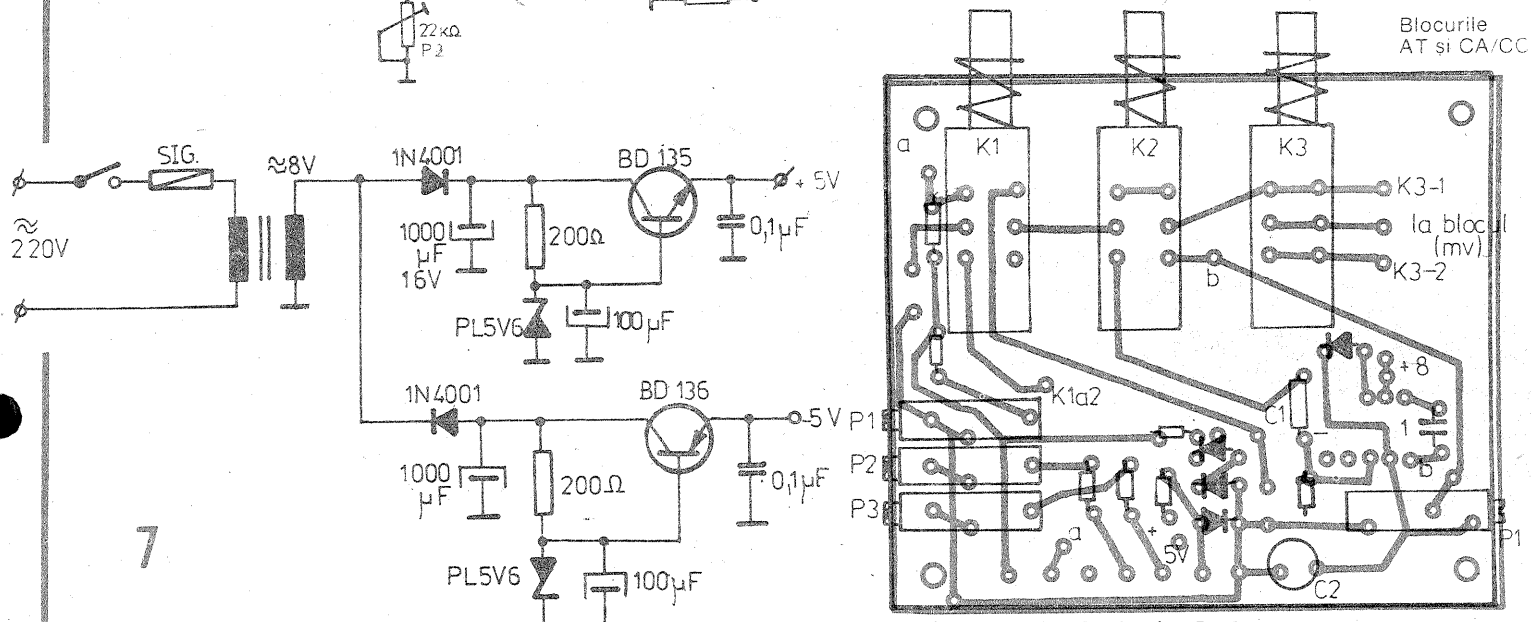
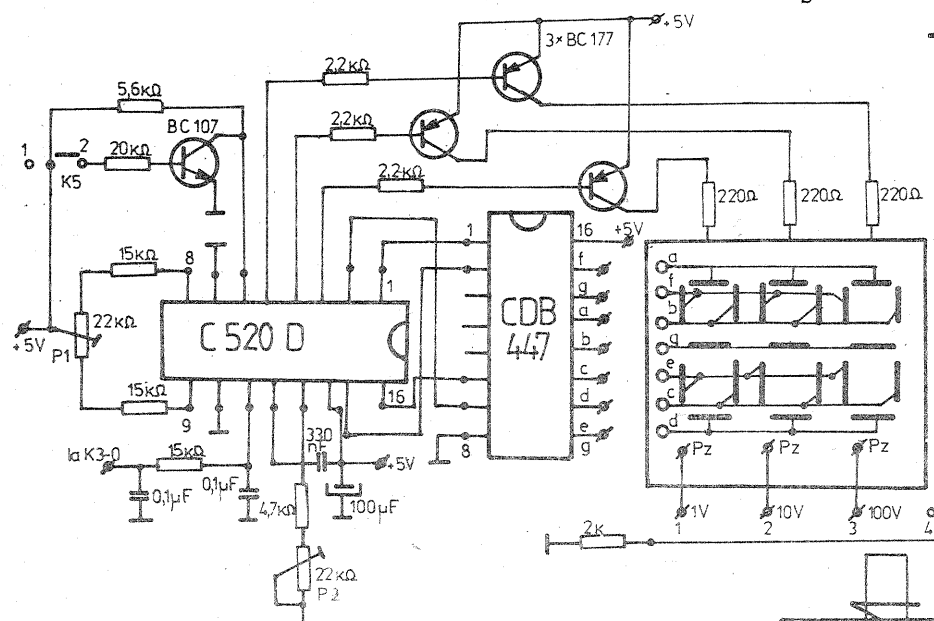
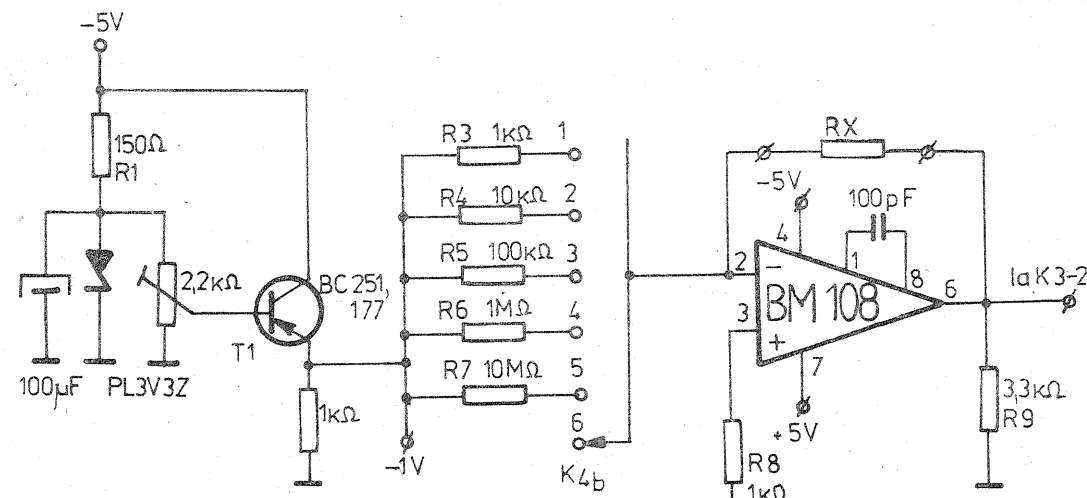
Deoarece consumul multimetrului digital este sub 100 mA , nu este nevoie ca tranzistoarele din stabilizatorul electronic să fie montate pe radiator.

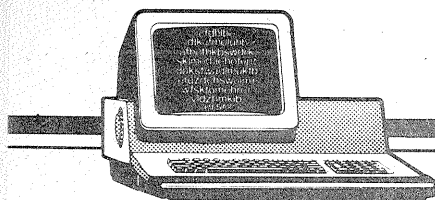
REALIZARE PRACTICĂ

În figurile 8, 9 și 10 sunt date cablajele imprimante (o variantă).

Comutatorul K_4 este de tip rotativ cu trei galeti și sase poziții.

Comutatoarele K_1, K_2, K_3 și K_5 sunt de tip claviatură, cu 2×2 poziții.





CALCULATORUL ELECTRONIC ÎN TRE DOUĂ GENERAȚII

Ing. MIHAELA GORODCOV

Așadar să încercăm să descifrăm cîteva dintre tainile calculatorului modern, dincolo de tastatură sau ecran, în interiorul unui sistem informatic asimilabil, într-o primă aproximație, unei "cutii negre" ce primește INFORMATII pe care le PRELUCREAZĂ sub comanda unui PROGRAM. Pentru ca acest sistem să funcționeze și, mai ales, să fie eficient, el trebuie să includă echipamente periferice variate, dintre care **elemente de dialog om-mășină** (de la cele "clasice" — tastatura de exemplu — pînă la cele mai moderne cu comandă vocală), **memorii auxiliare** (unități de discuri magnetice, de bandă magnetică și, mai recent, unități CD-ROM), **echipamente de desenare și tipărire** (plottere, imprimante) și, în sfîrșit, **telecomunicații** pentru legăturile prin rețele cu alte calculatoare sau echipamente diverse.

MICROCALCULATORUL

Oricare ar fi dimensiunea calculatorului, un sistem informatic funcționează în principiu la fel. În cazul în care calculatorul este conceput cu un microprocesor, atunci va deveni, firește, **MICROCALCULATOR**.

Pentru a înțelege funcționarea unei astfel de mașini, în figura 1 prezentăm o structură schematică, minimală a microcalculatorului:

• **Unitatea centrală de prelucrare** — UC — sau Central Processing Unit — CPU — este "înima" mașinii. În rîndurile care urmează vom reveni pe larg asupra ei, cu o descriere mai amănuntită.

• **Magistrală de comunicații** — "bus" — care transportă cuvinte de "n" biți în paralel, deservind numeroase blocuri funcționale. Pentru a înțelege mai bine cum funcționează o astfel de magistrală, nu este lipsită de interes analogia cu o autostradă, cu benzi specifice de transport (pentru anumite vehicule și deci viteze maxime) și cu acces numai în anumite momente.

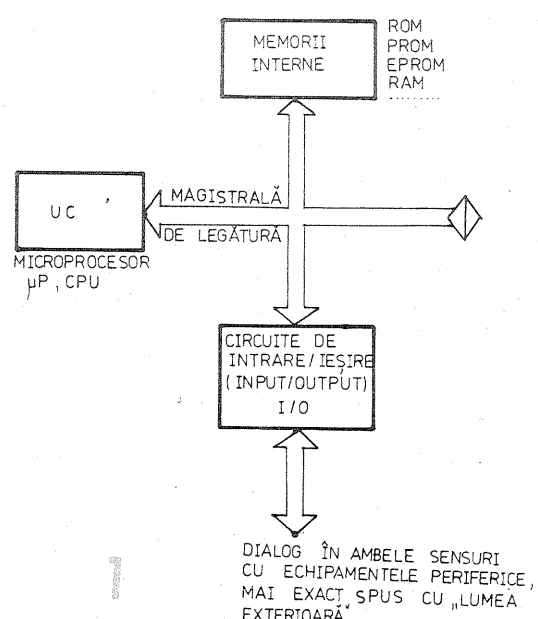
• **Memorile interne**, prin opozitie cu cele externe, auxiliare, stochează fie programe — numite firmware, care se păstrează în ROM sau "memoria moartă" — fie date care stochează în memorile RAM. (Despre aceste memorii se pot afla amanunte din grupajul nostru "REMEMBER sau a memora în cod mașină" din Almanahul "Tehniun" '89. Vom reveni și în cadrul acestui serial asupra lor).

• **Circuitele de intrare/ieșire I/O** sint circuite intermediare care fac legătura între UC și "lumea exterioră", după niște protocoale de transmisie și interfețe specifice.

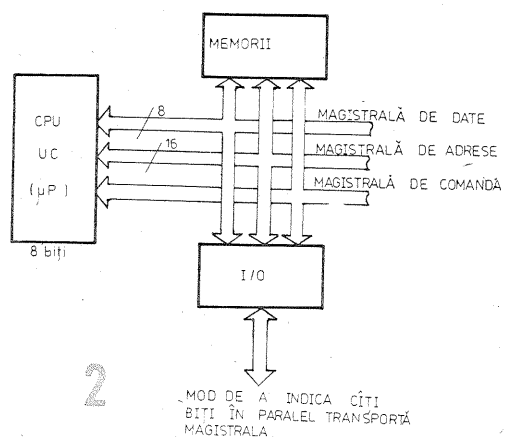
În practică, magistrala de legătură are 3 secțiuni specializate: bus-ul de date, de adrese și de comandă. Magistrala de date este bidirectională; cea de adrese este unidirectională (de la microprocesor către memorii), ceea de-a 3-a distribuie comenzi inscriere/citire în/din memorie, de un ceas al mașinii etc.

În figura 2, schema de principiu ia în considerare un microprocesor de 8 biți (pentru cel de 16 biți magistrala de adresa are 32 de biți, iar pentru cel de 32 de biți 64). Magistrala de comandă depinde de tipul microprocesorului.

În ceea ce privește memorile, pehntru utilizator ele apar ca niște sertare cărora li se atribuie un număr (adresă) și care conțin un cuvînt, de obicei în hexazecimal. Lungimea acestui cuvînt depinde întotdeauna de tipul microprocesorului; pentru un microprocesor de 8 biți, fiecare celulă va conține 1 octet, care reprezintă fie o comandă (instrucțiune de program), fie o anumită dată. Dacă magistrala va putea fi selecționată din 65 536 (2^{16}) combinații sau 64 kocete (1 ko = 1 024 octeti = 2^{10}).



Structura schematică, minimală a unui microcalculator.

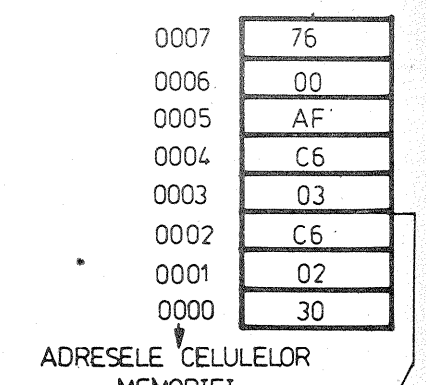


Distribuția funcțională a magistrailor.
UC "cîtește" fiecare instrucțiune din memorie într-o secvență logică bine determinată; UC poate avea acces la datele conținute în memorie, dar, de multe ori, aceasta din urmă este insuficientă pentru a stoca toate datele. În acest caz, CPU poate avea acces la informațiile externe prin intermediul PORTURILOR de intrare, rezultatele comunicindu-se prin intermediul PORTURILOR de ieșire către echipamentele de vizualizare.

FUNCTIUNAREA DE PRINCIPIU A UNUI MICROPROCESOR

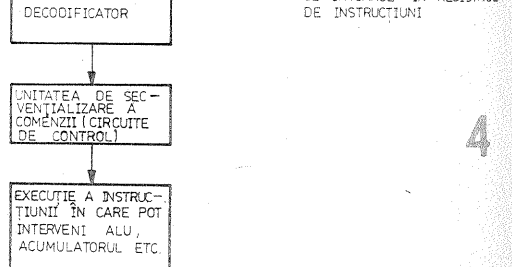
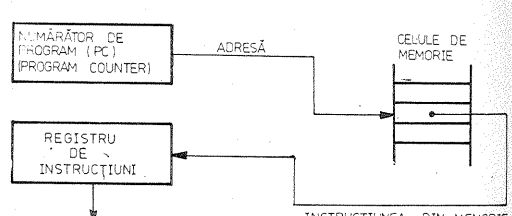
Așadar, un program se compune dintr-o serie de instrucțiuni (și de date) aranjate în celulele de memorie în ordinea crescătoare a adreselor.

Microprocesorul trebuie să stie în orice moment care este ultima celulă de memorie pe care a „adresat-o”, înainte de a trece la următoarea. Pentru aceasta el conține o mică memorie auxiliară,



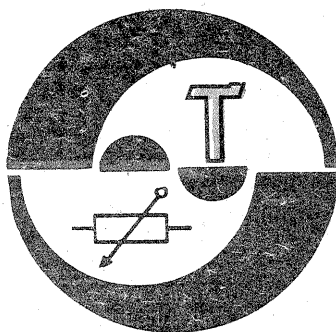
CONTINUTUL CELULEI ESTE INDICAT PRIN DOUĂ CARACTERE HEXAZECIMALE (PENTRU 1 OCTET BINAR)

O memorie poate fi reprezentată ca o suprapunere de sertare. Fiecare sertar conține informații, codificate în cazul de față în hexazecimal, și posede un "număr de ordine", care reprezintă de fapt adresa.



Etapele execuției unei instrucțiuni de către microprocesor.

iară, un REGISTRU DE PROGRAM (PC) = PROGRAM COUNTER, care acționează oarecum ca un contor de kilometraj de la automobil: după adresarea unei celule el se incrementează cu 9, ceea ce constituie adresa celulei următoare. Să presupunem că registrul indică adresa 8200 (în hexa; facem menținerea că, asupra sistemelor de numerație vom reveni într-unul din episoadele noastre viitoare). Această adresa desemnând celula 8200 va fi transferată pe bus-ul de adrese



ATELIER

DISPOZITIV DE ROTIRE A ANTENELOR

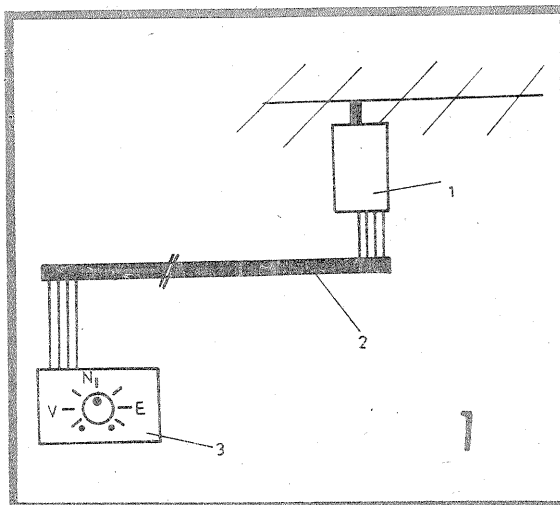
Ing. SERGIU FLORICĂ, YO3SF

Antenele directive pentru US sau UUS permit recepționarea semnalelor în plan orizontal, într-un unghi de 30–40°. Pentru a asigura receptia într-un cimp de 360°, antena trebuie rotită în jurul pilonului, indicind poziția sa operatorului.

Dispozitivul prezentat asigură rotirea unei antene cu greutatea maximă de 20 kg, cu viteza de 1 rotație/minut, precizia de citire a poziției antenei fiind de ± 5°.

Dispozitivul (fig. 1) este format dintr-un mecanism propriu-zis de rotire 1, prevăzut cu dispozitiv de frânare și reductor, un cablu de legătură 2 (patru fire izolate PVC Ø 1 mm) și un montaj electronic 3 (sursa de alimentare și indicatorul de poziție).

Mecanismul de acționare (fig. 2) este format dintr-un electromotor 1 de sterghitor de parbriz de la autoturismul „Dacia 1300”. Se va demonta rotorul electromotorului pentru a se înălța peria a (fig. 2) și vor fi utilizate numai firele de alimentare ale celor două perii b și c. De la electromotor mișcarea este transmisă printr-un mecanism melc roată-melcătată încasat din construcție. Mecanismul melc-roată este nereversibil.



cea ce asigură o frânare bună la acțiunea vîntului. Arborele de transmitere a mișcării are forma prezentată în figura 2, din care cauză pinionul de atac 2 are o gaură filetată M6. După strîngerea pinionului 2 pe arbore se va da o gaură de Ø 3,2 prin ambele piese, filetându-se ulterior cu M4 numai gaura din arbore, iar gaura din corpul pinionului 2 se mărește la Ø 4,2. În acest mod se asigură cu un șurub 3 (M4x12, cap cilindric) rigidizarea celor două repere.

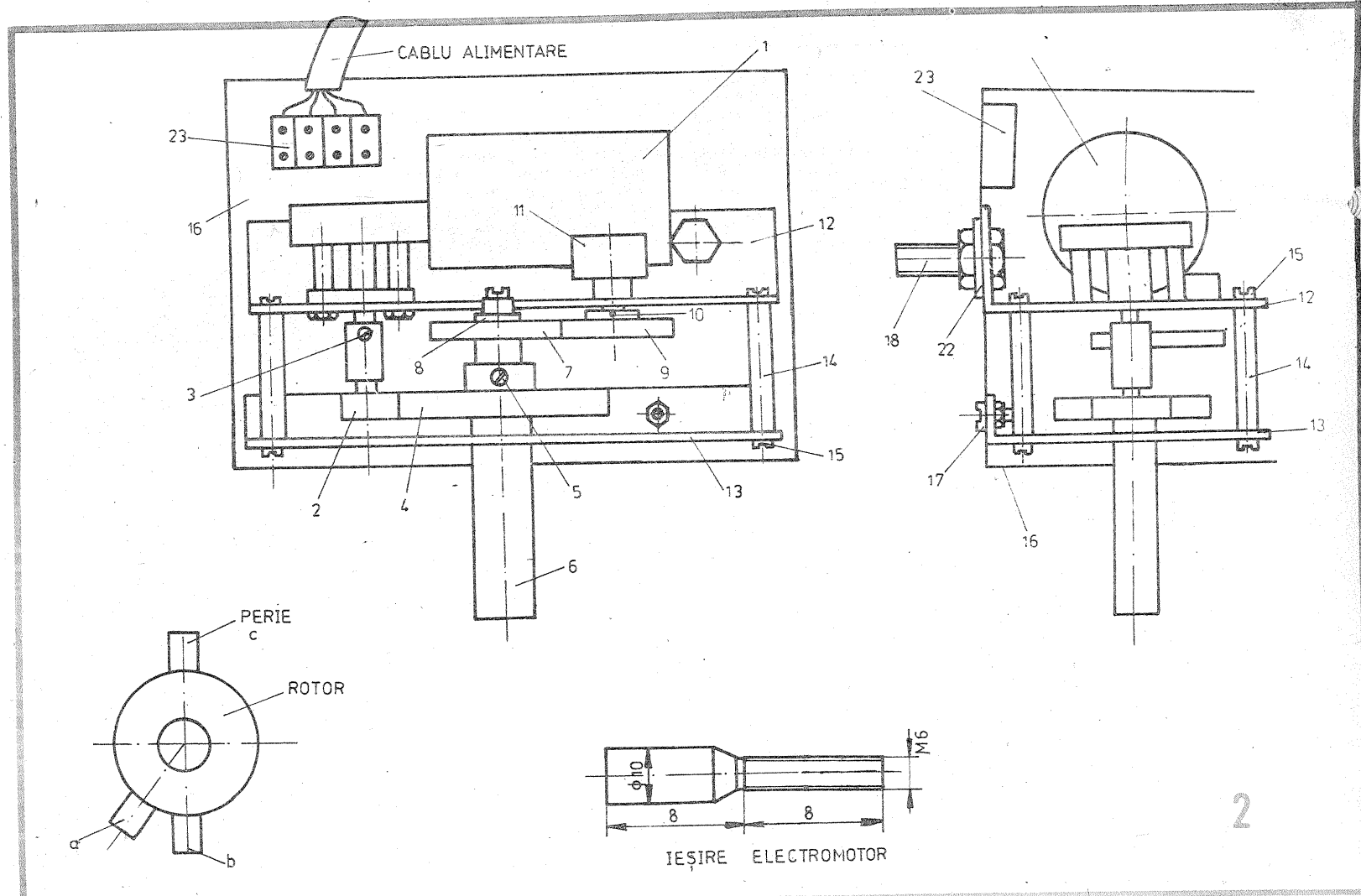
Pinionul 2 angrenează cu o roată dințată 4, fixată cu un șurub 5 (M5x12, cap cilindric) pe arborele 6 care rotește axul antenei. Tot pe arborele 6 se mai montează o roată dințată 7 cu un șurub 8 (M3x15), roată dințată 9 care angrenează cu o altă roată dințată, 9, fixată cu două șuruburi 10 (M3x15) de axul potențiometrului 11, bobinat de 100 Ω. Mecanismul este fixat între două suporturi, 12 și 13, din tablă TDA ≠ 1,5 mm, menținute la distanță cu reperile 14 și șuruburile 15 (M4x10). Suporturile 12 și 13 sunt fixate în carcasa 16 cu șuruburile 17 (M4x12) și 18 (M8x100). Cu ajutorul colierului 19 și al unor piulițe 20 (M8) se fixează carcasa 16 pe pilonul 21 al antenei (fig. 3). Pilonul este tangent la o platbandă 22 montată pe șuruburile 18.

In carcasa 16 se va monta un bornier 23 în care vor fi aduse două fire ale electromotorului și două fire de la reostatul de 100 Ω.

În figura 4 sunt prezentate toate detaliiile de execuție a reperelor. După asamblare, reperile 2 și 4 se vor acoperi cu un strat de unsolare.

Se va măsura rezistența ohmică a unui singur fir de legătură de la reostatul de 100 Ω pînă la bornă de intrare și se va reține ca valoare Ra/2 (aproximativ 2 Ω la o lungime de 30 m a cablului).

Puntea CDEF (fig. 5) este alimentată cu o tensiune stabilizată de 12 V și este formată din două rezistențe de 100 Ω/1 W, un reostat de 100 Ω bobinat, inseriat cu o rezistență R2 (4 Ω) și reostatul



de 100Ω (reper 11), figura 2. Ieșirea punții se leagă la un comparator format din două amplificatoare Darlington (tranzistoarele AC180K și AC181K), în ieșirea cărora sănătatea două relee R1 și R2, ale căror contacte (figura 6, r1, r'1 și r2), capabile să suporte un curent de 2 A, asigură alimentarea electromagnetului.

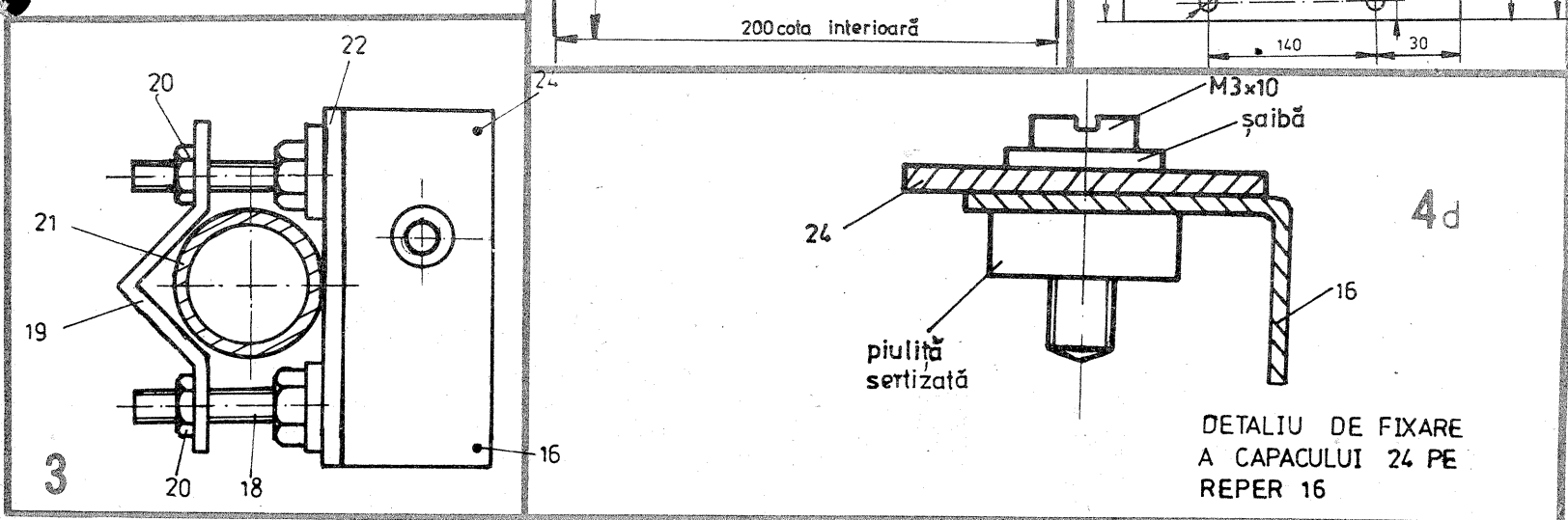
Dacă puntea este echilibrată (cursoarele celor două reostate sănătate în aceeași poziție), cele două relee R1 și R2 nu sănătate atrase și deci nu se închide circuitul de alimentare a electromotorului (fig. 6B). Acționând asupra reostatului „din casă”, puntea se dezechilibrează și, presupunind apariția unui semnal de semn pozitiv, va fi atras reeleul R2, care prin contactul r2 alimentează electromotorul în sensul săgeții a (fig. 6C). Prin sistemul de angrenaj va fi rotită antena, dar și reostatul 11, pînă la echilibrarea punții, eliberind reeleul R2.

Acționînd în sens invers reostatul „din casă”, va apărea un semnal de semn negativ, ceea ce va conduce la atragerea releeului R1; electromotorul se va rota în sensul săgeții b (fig. 6D) pînă la echilibrarea punții și deci la eliberarea releeului R1.

Stabilirea poziției firelor de legătură se face urmărind ca sensul de rotere a cursoarelor reostatelor să fie identic. Cele două cursoare vor fi fixate inițial pe poziția mediană, ceea ce ar corespunde poziției antenei pe nord. Aceeași poziție se va menține și la fixarea antenei pe pilon. Pe arborele de acționare 6 (fig. 7.A) se fixează un inel 24 cu două suruburi M3x15 pe care se montează reperul 25 ce susține cablul coaxial strins cu brida 26. Cablul coaxial va face o buclă de cca 75 cm față de pilonul antenei (fig. 8).

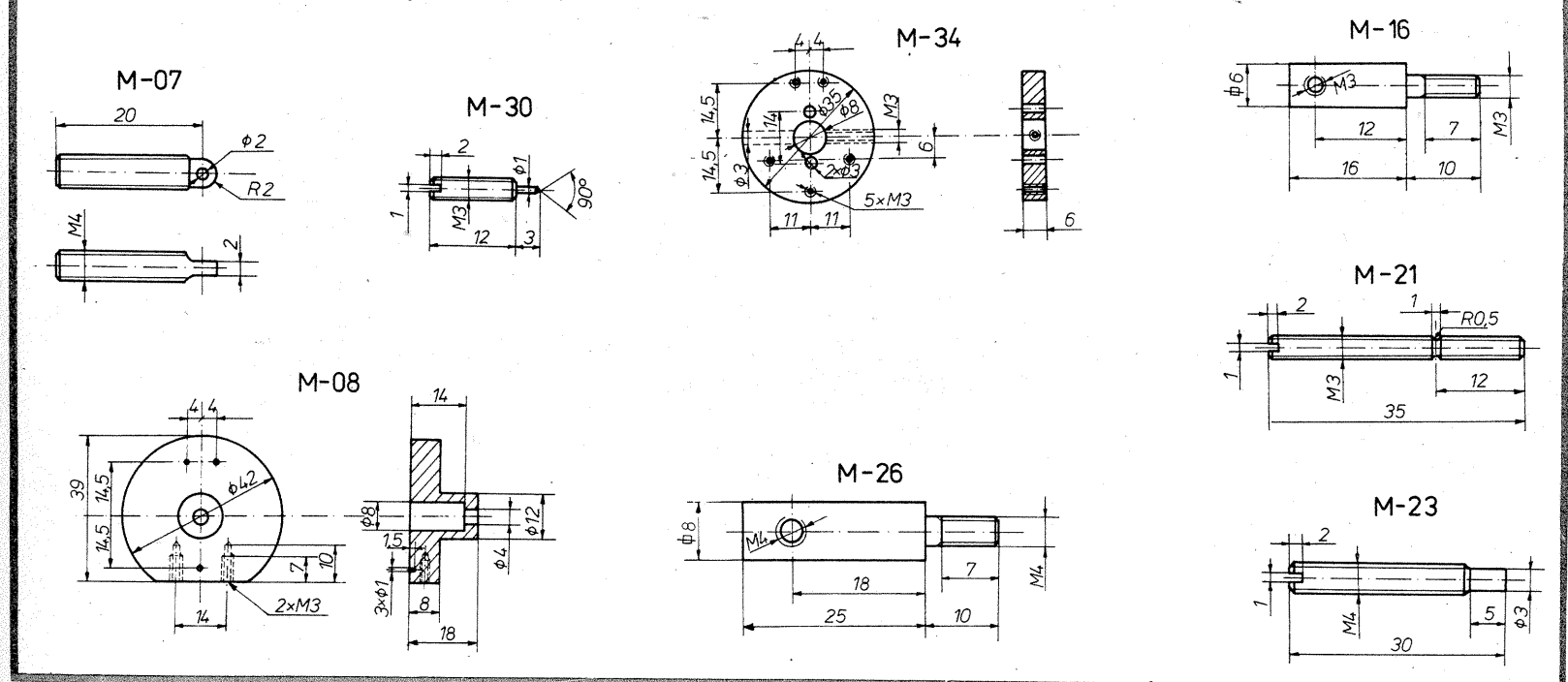
Reperele executate din tablă de fier vor fi acoperite cu vopsea tip EMAUR uscată în cuptor. După asamblarea carcasei (reperele 16 și 24) se vor chitui îmbinările.

(CONTINUARE ÎN NR. VIITOR)



CHEIE PENTRU MANIPULATOARE

(URMARE DIN PAG. 7)



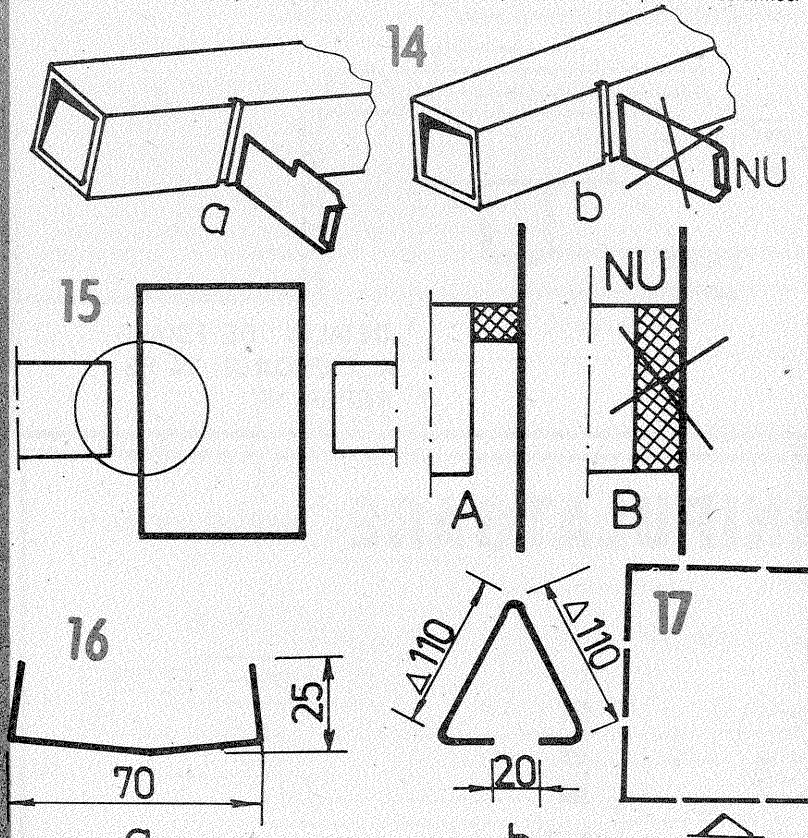
LOCUJIREA ROASTRĂ

CONSUMUL RATIONAL DE ENERGIE: ÎNCĂLZIREA LOCALĂ

MIRCEA MUNTEANU,
Oțelu-Roșu

Marginile celor patru plăci de colț ale soclului se șlefuisesc în zonele cioplite anterior, astfel încât lingă linia dreaptă a șlefuirii să nu se observe zone cu smalț sărit. Primele elemente care le montăm sunt colțurile soclului. La montare trebuie să avem grija ca între fața laterală a lor și perete să fie minimum 12–13 cm. Între elementele de colț ale soclului se

tarelor de 60 și 40 cm și ai agrafelor (fig. 18b). Lăsăm la latitudinea executantului să aleagă soluția cea mai convenabilă. Conform celor prezентate în figura 19, la două din plăcile de colț trebuie să efectuăm degajarea marcată cu linie groasă. Pentru a nu repeta mereu, precizăm că șlefuirea și introducerea în apă sunt obligatorii pentru toate plăcile ceramice.



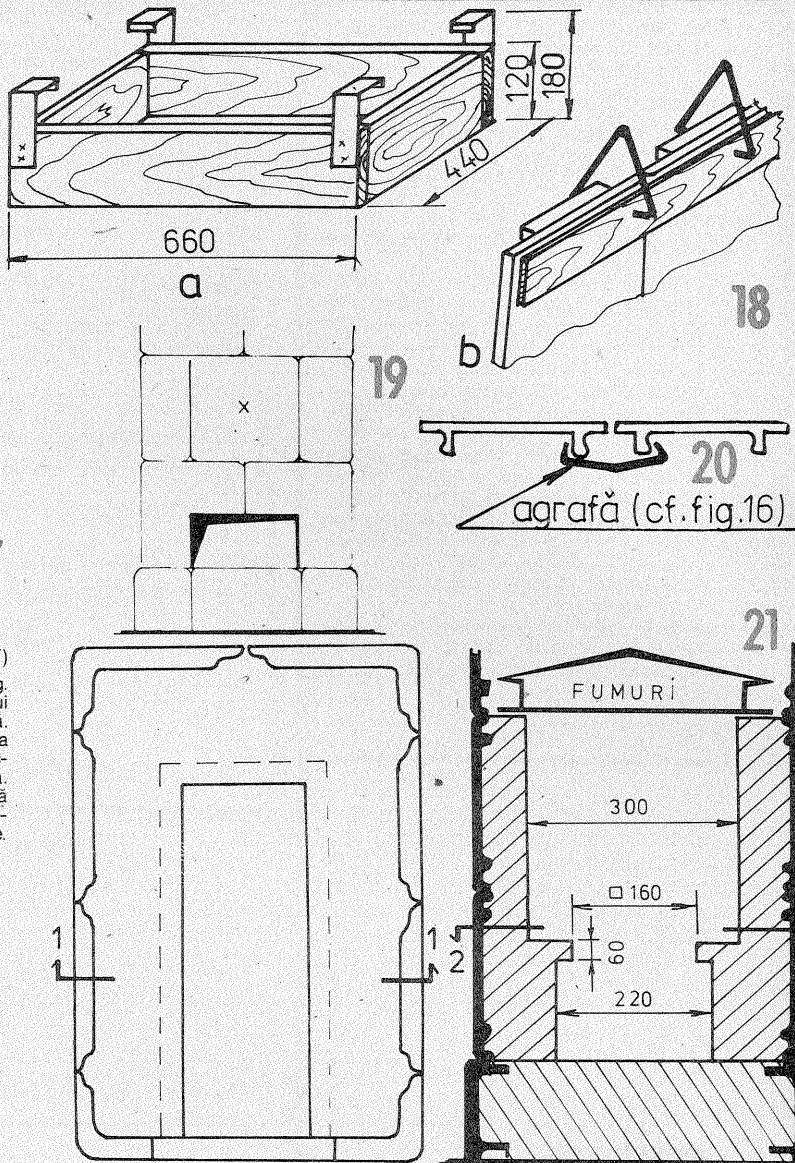
introduc elementele laterale, după ce în prealabil s-au șlefuit și s-a încercat potrivirea la poziție pe uscat. Toate elementele soclului se fixează, la bază și între ele în interior, cu mortar. La montare trebuie să avem grija ca soclul terminat să se inscrie într-un dreptunghi de 690 x 470 mm. Elementele de soclu se montează ca în figura 17, având grija să nu creăm rost continuu de la soclu la plăci. Este bine ca fiecare două elemente alăturate ale soclului să se fixeze între ele cu cel puțin o agrafă.

În interiorul conturului creat de elementele de soclu se umple cu zidărie din cărămidă (sunt necesare cca 18 buc. cărămizi normale), urmărind ca partea superioară să fie netedă la nivelul superior al căhlelor de soclu.

În continuare urmează montarea plăcilor de colț și curente ale primului rind de plăci. Un montaj corect, vertical și liniar, se realizează fie cu ajutorul ramei prezente în figura 18a, fie cu ajutorul drept-

șlefuirea se executa din aproape în aproape pînă cînd plăcile se aşază cît mai bine una îngă alta. Cele patru plăci de colț din primul rind se montează la 10–15 mm retragere față de linia verticală a elementelor de soclu. Între ele se vor monta apoi plăcile din cîmpul curent. Plăcile de colț și cele curente se vor fixa cu mortar între ele și la bază pe soclu. Două plăci alăturate se vor fixa cu 2–3 agrafe (vezi figura 20). Dacă ușa censurăului și focarului este cuprinsă în cadrul aceleiasi rame, plăcile de colț se tăie după linia mai groasă din figura 19, placă marcată cu „X” din rîndul al doilea ne-montindu-se oricum în ambele situații. Conform figurii 21, în conturul delimitat de primul rind de plăci executată zidăria cenușarului.

În continuare montarea plăcilor din rîndul al doilea, eventual și ușa focarului, dacă este corp separat față de cea a cenușarului, executind apoi zidăria focarului.



cilindru exterior (1), un cilindru interior (2) în care se pune rumegus (3), piesă de lemn (4), pentru formarea goloului (5) în rumegus, capacul demontabil (6), legătura la cos (7) și eventual o ușă pentru curățare (8).

Cilindrul interior sau rezervorul de rumegus, cum se mai numește, este fără capac, iar la partea inferioară are o gaură rotundă pentru accesul aerului de combustie.

În rezervorul scos din corpul sobei se introduce piesa de lemn (4), în jurul căreia se indeasă rumegus, iar după umplere se scoate piesa (4), se transportă cu grijă în încăpere și se introduce în

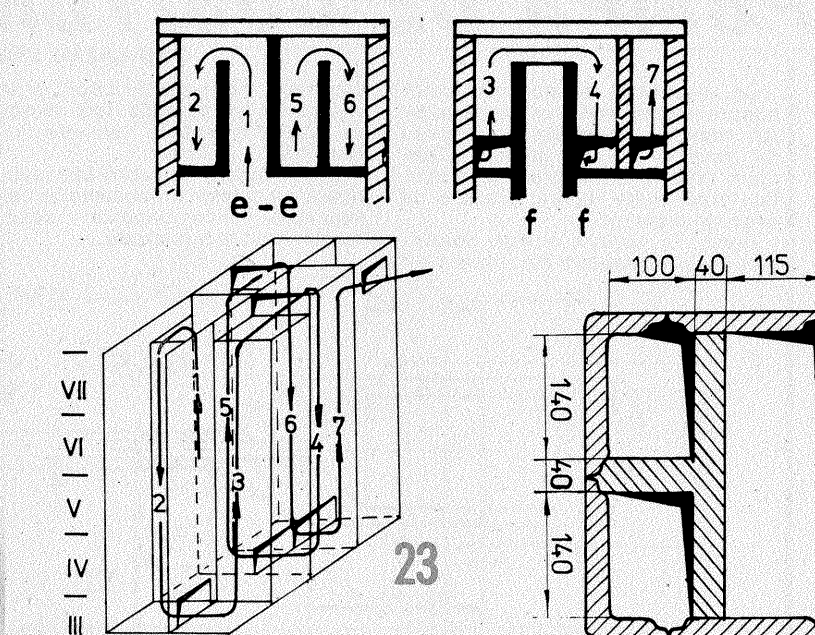
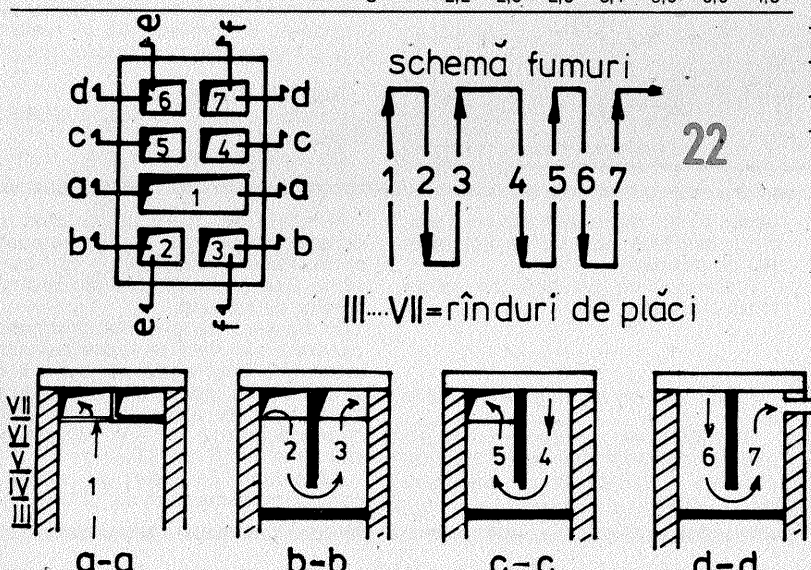
sobă. În golul (5) se introduc așchii, folosindu-se de sus în jos, iar arderea propágindu-se radial spre periferia rezervorului. Se va avea grija la montarea capacului, deoarece la un montaj greșit, în încăpere pot ieși gazele arse și fumul din sobă.

Această sobă realizează căldură uniform, între două încărcături funcționalitatea putând fi asigurată timp de aproximativ 10 ore.

Întreținerea sobei cu rumegus este simplă, ea rezumindu-se la curățenia interioară și anual (toamna) vopseirea în exterior cu bronz, aluminiu sau cu vopsea pentru sobe TITAN.

SUPRAFAȚA DE ÎNCĂLZIRE A SOBEI DE TERACOTĂ ÎN FUNCȚIE DE SUPRAFAȚA ÎNCĂPERII

Tipul încăperii în care se monteză sobă	Orientalarea	Suprafața încăperii (m²)						
		10	12	14	16	18	20	25
Suprafața sobei (m²)								
Cameră de colț	N	3,2	3,5	3,8	4,2	4,6	5,0	5,9
	S	3,0	3,3	3,6	3,9	4,3	4,6	5,4
Cameră de mijloc	N	2,0	2,3	2,5	2,7	3,0	3,2	3,9
	S	1,9	2,2	2,4	2,5	2,8	3,0	3,7
Cameră de colț la parter	N	2,7	3,1	3,3	3,5	3,8	4,1	4,8
	S	2,5	2,8	3,1	3,3	3,5	3,7	4,3
Cameră de mijloc la parter	N	1,4	1,6	1,9	2,1	2,3	2,6	3,1
	S	1,3	1,5	1,8	2,0	2,2	2,4	2,8
Cameră de colț, etaj intermediar	N	2,4	2,6	2,8	2,9	3,2	3,4	4,0
	S	2,2	2,4	2,6	2,7	2,9	3,1	3,6
Cameră de mijloc, etaj intermediar	N	1,3	1,5	1,7	1,8	2,0	2,2	2,6
	S	1,2	1,3	1,4	1,6	1,8	2,0	2,3
Cameră de colț la ultimul etaj, cu tavan din beton armat	N	3,6	4,0	4,4	4,8	5,3	5,8	7,0
	S	3,4	3,8	4,2	4,6	5,1	5,6	6,7
Cameră de mijloc la ultimul etaj, cu tavan din beton armat	N	2,3	2,6	2,9	3,2	3,7	4,1	5,0
	S	2,2	2,5	2,8	3,1	3,6	3,9	4,8



CARACTERISTICILE PIESELOR CERAMICE PENTRU SOBE DE TERACOTĂ

DENUMIREA PIESEI	DIMENSIUNI (mm)				FIG. NR.
	Lungime (a)	Lățime (b)	Lățime (c)	Grosime (g)	
Soclu lateral	150	225	—	14–18	3
Soclu colț dreapta	150	245	135	14–18	2
Soclu colț stînga	150	245	135	14–18	2
Placă colț	240*	220	110	14–18	4
Placă curentă	240*	220	220	14–18	5
Cornișă laterală	120	225	—	14–18	7
Cornișă colț dreapta	120	235	125	14–18	6
Cornișă colț stînga	120	235	125	14–18	6
Capac	—	—	—	16–22	9
Burlan (olan)	350(550)	160	160	15–18	13

*poate fi și 220 mm

SUPRAFAȚA UTILĂ A SOBEI DE TERACOTĂ ÎN FUNCȚIE DE NUMĂRUL DE PLĂCI

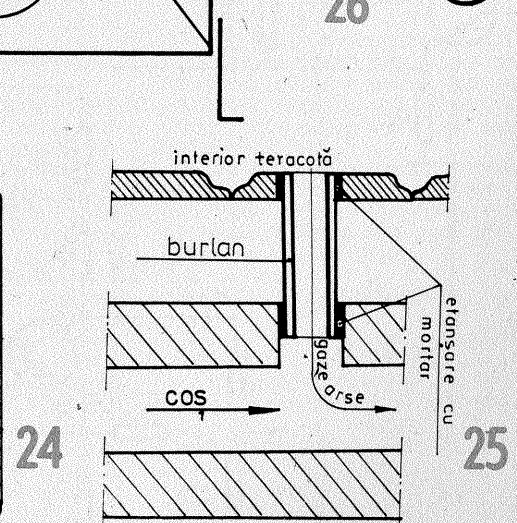
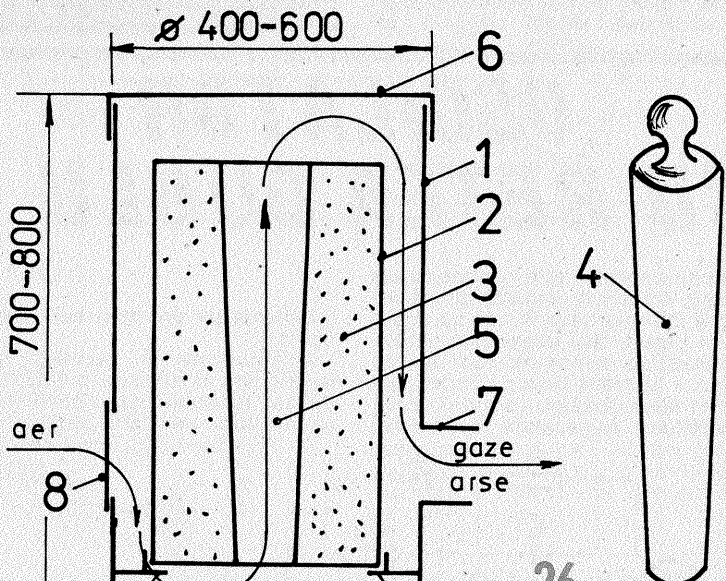
Numărul de plăci pe un rînd	Numărul de plăci în înălțime, fără soclu și cupolă (buc./m)			
	5/1,2	6/1,52	7/1,68	8/1,92
6 plăci	2,11	2,53	2,96	3,38
8 plăci	2,64	3,16	3,70	4,22
10 plăci	3,17	3,80	4,44	5,06
12 plăci	3,70	4,43	5,17	5,91

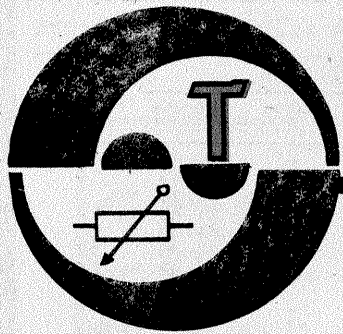
CAPACITATEA DE ACUMULARE A CĂLDURII ÎN FUNCȚIE DE ANII DE UTILIZARE A SOBEI

NUMĂRUL ANILOR DE UTILIZARE	CAPACITATEA DE ACUMULARE A CĂLDURII FĂTĂ DE PRIMUL AN ÎN %	CALITATEA PLĂCILOR						
		1	2	3	4	5	6	7
1	100	100	80	75	73	70	68	65
2	100	100	80	75	73	70	68	65
3	100	100	80	75	73	70	68	65
4	100	100	80	75	73	70	68	65
5	100	100	80	75	73	70	68	65
6	100	100	80	75	73	70	68	65
7	100	100	80	75	73	70	68	65

DURATA DE ÎNTREBUIINTARE SI PERIOADELE DE REMONTARE A SOBELOR DE TERACOTĂ

CALITATEA PLĂCILOR	DURATA DE ÎNTREBUIINTARE (ani)	PERIOADA DE REMONTARE (la...ani)	NUMĂRUL REMONTRILOR		
			Plăci de compozitie poroasă	Plăci de compozitie compactă	Plăci din argilă albă și nisip de carieră
Plăci de compozitie poroasă	24	6	3	1	1
Plăci de compozitie compactă	14	7	1	1	1
Plăci din argilă albă și nisip de carieră	14	7	1	1	1





ETITORII RECOMANDĂ

ZAR ELECTRONIC

Ing. KAZIMIR RADVANSKY, Petroșani

Spre deosebire de variantele de zar electronic întâlnite, montajul pe care îl propun realizează afişarea cifrei nu prin puncte luminoase, ci pe un element de afişare pentru un digit. Totodată realizarea montajului este un prim pas spre familiarizarea cu circuitele integrate logice, în special numărător-decodificator-element de afişaj, fiind o primă etapă înainte de abordarea unor montaje mai complexe (ceas electronic, instrumente de măsură digitale etc.).

Schimbul electrică de principiu este prezentată în figură și se compune din următoarele:

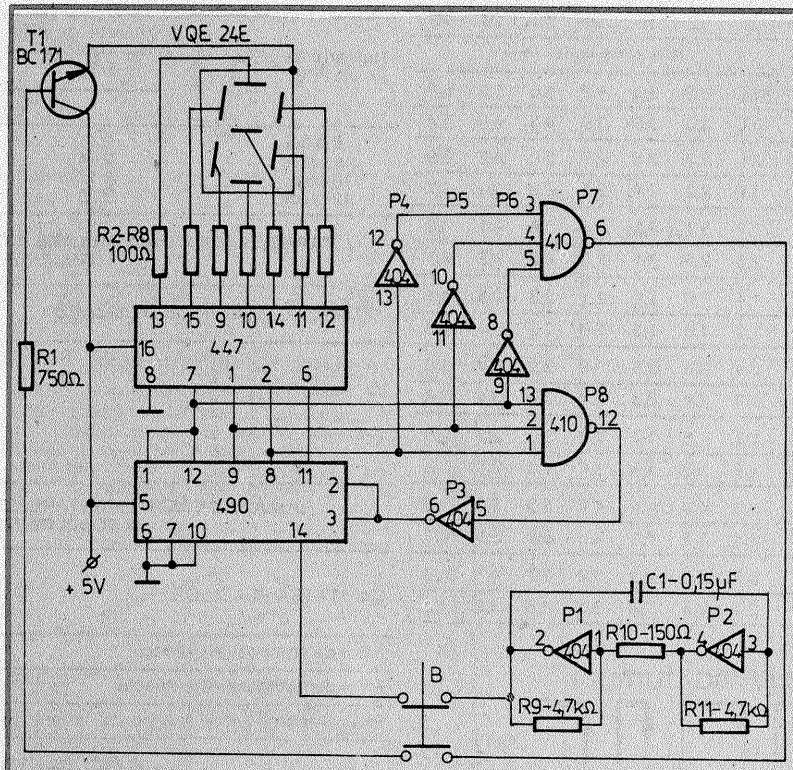
- un oscilator realizat cu portile P_1 și P_2 ;
- un numărător decadic CDB490E;
- un decodificator CDB447E;
- un element de afişare de un digit;
- circuite de reacție realizate cu portile $P_3 \div P_8$;
- un circuit de comandă pentru afişaj realizat cu tranzistorul T_1 .

Principiul de funcționare

Semnalul generat de oscilator este aplicat la intrarea numărătorului care începe ciclul de numărare conform tabelului de adevar cunoscut, decodificatorul realizează decodificarea, iar pe afişaj apar cu o frecvență mare cifrele de la 0 la 9. Problemele care se pun sunt reducerea ciclului de numărare pînă la 6 și eliminarea afişării cifrei 0.

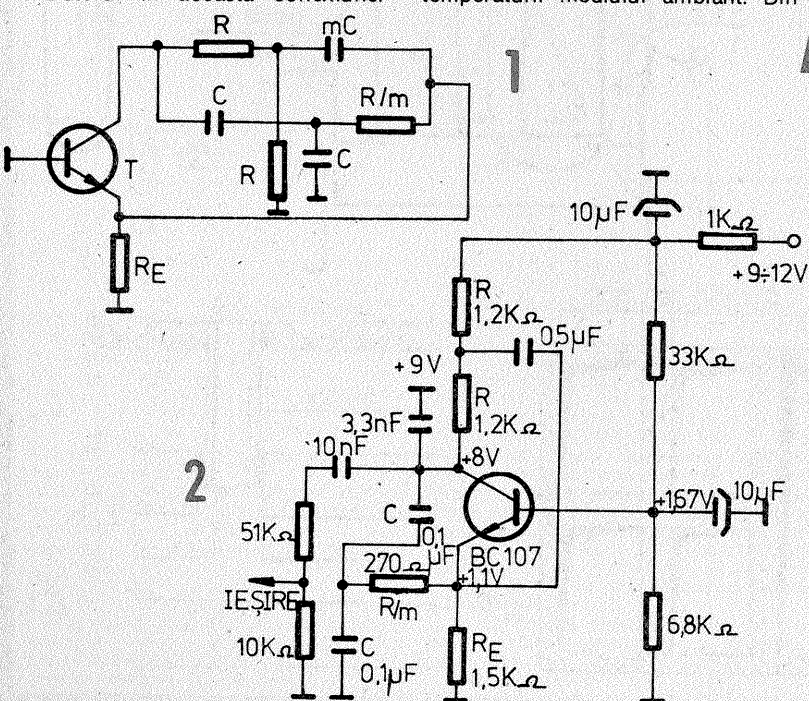
pentru acest scop s-au introdus circuite de reacție realizate cu porti inversoare și porti NAND cu 3 intrări (CDB410).

Cînd numărătorul ajunge la secvența 7, pe ieșirile A, B, C ale numărătorului avem stare logică "1", care



OSCILATOR CU REȚEA DUBLU T

Acest oscilator este realizat cu un singur tranzistor montat în conexiunea BC și o rețea RC de tip dublu T, în care brațul transversal se conectează la emitor. În felul acesta rețeaua lucrează bine pe impedanța de intrare redusă pe care o prezintă tranzistorul în această conexiune.



acest punct de vedere schema prezintă avantaje față de oscilatoare RC cu defazare.

Frecvența de oscilație se calculează cu relația:

$$f_o = \frac{1}{2\pi RC}$$

Parametrul m se alege între 4,8 și 5.

Condiția de oscilație impune pentru tranzistor un factor de amplificare în curent (h_{21e}) mai mare de 11.

Montajul se poate utiliza cînd se dorește obținerea unor semnale aproximativ sinusoidale, cu frecvențe fixe și amplitudini de ordinul sutelor de milivolti.

În figura 2 se prezintă o schemă concretă ce oferă la ieșire semnale avînd frecvență egală cu cca 1 kHz și distorsiuni mai mici de 5%. Montajul se poate alimenta cu tensiuni cuprinse între 9 și 12 V, consumând cca 1 mA.

Tensiunile indicate pe schemă corespund alimentării cu 11 V.

POMPĂ DE COSITOR

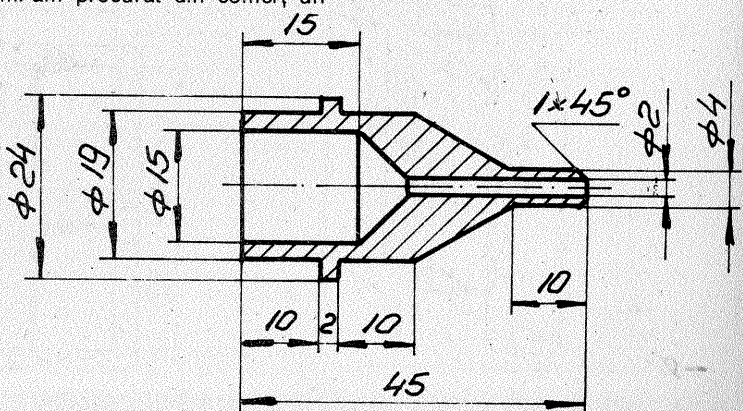
DAN LAZĂR, Sibiu

Ca electronist amator, am simțit adesea nevoie unei pompe de aspirat cositor, dar modelele propuse de revista sau almanahul „Tehnium” săn, practic, greu de executat (prea multe repere, precizie de execuție mare etc.).

Pentru a înălțatura aceste neajunsuri mi-am procurat din comerț un

„aspirator nazal pentru copii” și am înlocuit vîrful acestuia (din plastic) cu altul din textolit, executat conform schiței alăturată.

Cu o putere de absorbtie superioară modelelor precedente și de o simplitate incomparabilă, soluția merită, cred, popularizată.



AEROIONIZATOR PENTRU AUTOVEHICULE

De o importanță deosebită pentru conduceratorul auto profesionist sau amator este menținerea unui climat aeroelectric înconjurator bogat în ioni negativi, mai ales în timpul deplasărilor pe distanțe lungi.

Efectul aeroionilor negativi asupra organismelor și omului în general și asupra omului în particular a fost studiat în cursul a numeroase experiențe care, în final, au arătat că îmbogățirea aerului cu ioni negativi înălță stresul, obosalea, sporește capacitatea de concentrare și dă o stare de înviorare.

În natură aeroionii negativi apar lîngă cursurile repezi de apă, deasupra pădurilor montane, după ploile de vară. Producerea artificială a aeroionilor negativi se poate face cu dispozitivele electronice care generează tensiuni continue înalte, de circa 2 000 – 4 000 V, care sunt aplicate, cu polaritate corespunzătoare, unor electrozi de emisie.

Un astfel de dispozitiv este prezentat în figura 1, iar schema electrică de principiu este prezentată în figura 2.

Pentru direcționarea fluxului de aeroioni s-a folosit un ventilator de tip jucărie (produs de întreprinderea ELECTROMETALICA-PLOIEȘTI) alimentat de la un redusator de tensiune, conform figurii 3. Deoarece

LIVIU CADINOIU, Botoșani

pentru producerea tensiunii continue înalte de la o tensiune continuă joasă este nevoie de un convertor, s-a utilizat convertorul de tensiune al unei aprinderi electronice, de exemplu al dispozitivului prezentat de autor în revista „Tehniun” nr. 6/1987, pag. 15.

Conform figurii 2, tensiunea alternativă înaltă, de 350 – 380 V, care

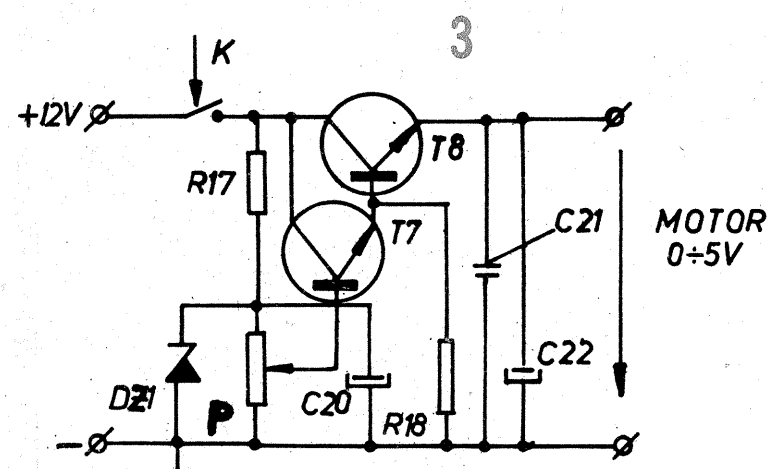
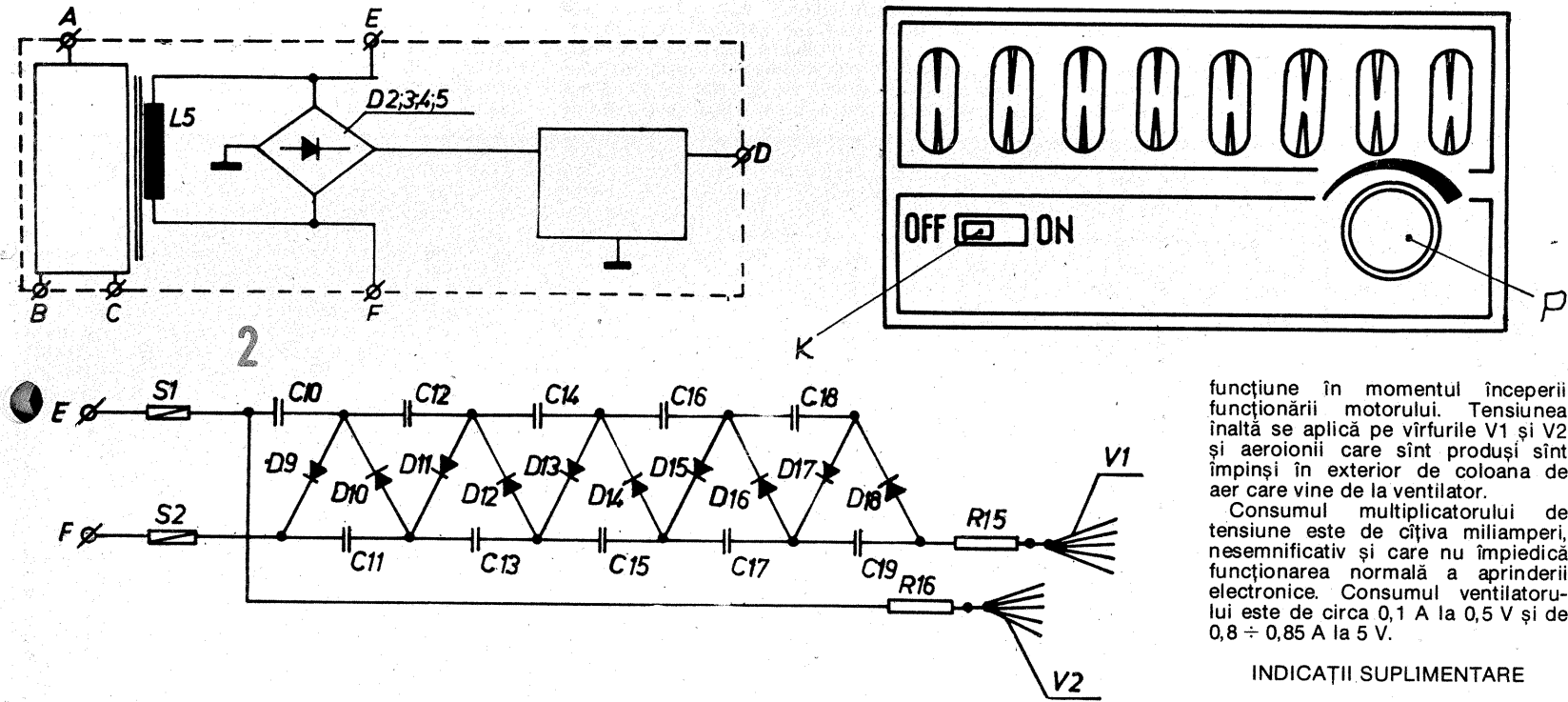
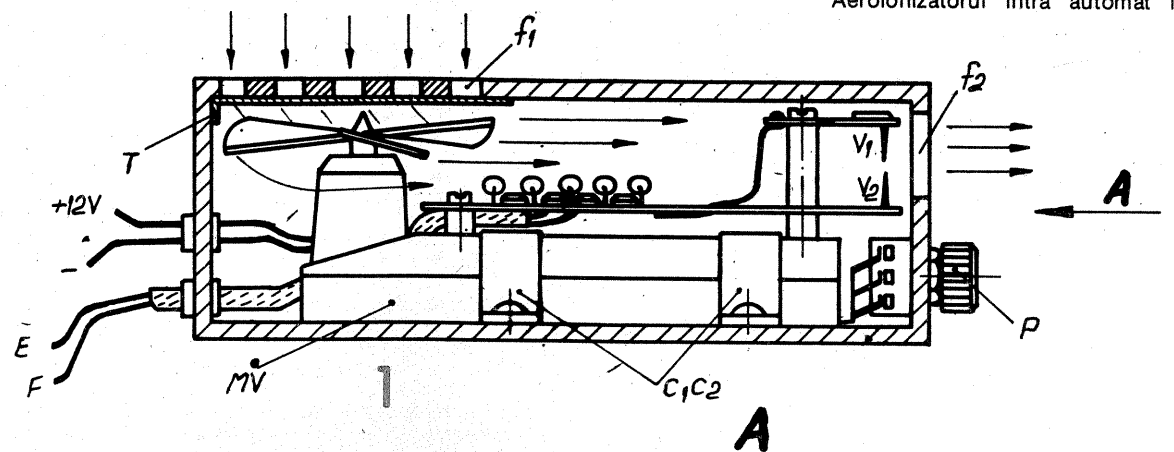
apare la bornele EF ale punții D2, 3, 4, 5, este conectată la bornele corespondente EF ale unui multiplicator de tensiune, format din diodele D9 – D18 și condensatoarele C10 – C19. Currentul de ieșire este limitat de rezistențele R15 și R16, conectate la un sistem de vîrfuri V1 și V2.

Deoarece motorul ventilatorului se alimentează cu o tensiune de maximum 5 V, între bateria autovehiculului (12 V) și acest consumator s-a intercalat un redusator de tensiune electronic compus din tranzistoarele T6 și T7, o diodă Zener DZ1, potențiometrul de reglaj P, rezistoarele R17, R18 și condensatoarele C10, C21, C22.

Cu ajutorul unui întrerupător K, redusatorul de tensiune se conectează la tensiunea de alimentare.

Între vîrfuri la 3 – 4 mm. Cutia electroizolantă posedă niște ferestre de admisiune a aerului, f1, amplasate în dreptul elicei ventilatorului, și niște ferestre de evacuare a aerului, f2, dispuse în fața vîrfurilor V1 și V2. Pe panoul frontal (vederea A) sunt dispuse potențiometrul P și întrerupătorul K. Conexiunile între sursa de înaltă tensiune (convertor) care se află lîngă motor și aeroionizator din habitaciu se fac cu păpuși tip auto, cu cablu bifilar cu izolație întărită (pentru tensiunea înaltă) și cu cablu bifilar normal (pentru tensiunea de 12 V). Tranzistorul T8 poate fi amplasat direct pe plăcuță cu cablaj imprimat prin intermediul unui radiator de 25 – 30 cm², în formă de U. În scopul filtrării aerului atmosferic absorbit de ventilator s-a prevăzut și o filtrare suplimentară, prin intermediul unui material textil T, aplicat pe partea interioră a cutiei, în dreptul ferestrelor f1.

Aeroionizatorul intră automat în



DATE CONSTRUCTIVE

Microventilatorul MV este amplasat într-o cutie electroizolantă, conform figurii 1, fiind fixat cu niște coliere C1 și C2. Deasupra ventilatorului se află dispusă plăcuță cu cablaj imprimat al multiplicatorului de tensiune (fig. 2) și al redusatorului de tensiune (fig. 3), fixată prin nișe distanțiere. Vîrfurile V1 sunt constituite dintr-un număr de 8 ace foarte bine ascuțite (de exemplu, ace cu gămălie sortate), îndoite conform figurii și lipite cu aliaj pe o plăcuță de circuit imprimat, care ulterior se conectează la rezistorul R15.

Vîrfurile V2 sunt în același număr ca și V1, dar sunt îndoite invers și amplasate în fața vîrfurilor V1, fiind conectate la rezistorul R16. Cu ajutorul distanțierelor se regleză dis-

funcționează în momentul începerii funcționării motorului. Tensiunea înaltă se aplică pe vîrfurile V1 și V2 și aeroionii care sunt produsi sunt impinsă în exterior de coloana de aer care vine de la ventilator.

Consumul multiplicatorului de tensiune este de cîțiva miliamperi, nesemnificativ și care nu împiedică funcționarea normală a aprinderii electronice. Consumul ventilatorului este de circa 0,1 A la 0,5 V și de 0,8 – 0,85 A la 5 V.

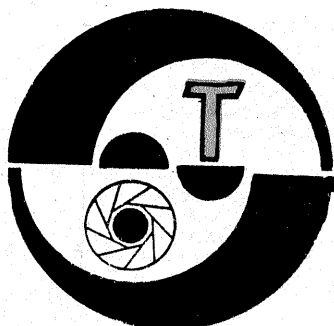
INDICAȚII SUPLIMENTARE

1. Se va evita atingerea vîrfurilor V1 și V2 în timpul funcționării aparatului (o atingere accidentală este neplăcută, însă nu are urmări, din cauza curentului limitat de rezistențele R15, R16).

2. Pe plăcuță cu cablaj imprimat se va lăsa o distanță de minimum 15 mm între cablajul multiplicatorului de tensiune și cablajul redusatorului de tensiune continuă.

PIESE componente

MV — motoventilator (tip ELECTROMETALICA-PLOIEȘTI); S1, S2 — siguranțe fusibile 0,25 A; C10 – C19 — condensatoare 10 nF/1 000 V; D9 – D18 — 1N4007; R15 — 1 MΩ/0,5 W; R16 — 100 kΩ/0,5 W; R17 — 680 Ω/1 W; R18 — 1 kΩ/0,5 W; C20 — 100 μF/25 V; C21 — 0,1 μF/100 V; C22 — 100 μF/25 V; P — 10 kΩ; T7 — BD135; T8 — 2N3055.



EXPOTEMPORIZATOR

ALEXANDRU COTTA, GHEORGHE BALA

Exponometrul numeric de laborator prezentat în nr. 1/1988, pag. 20, al revistei „Tehnium” poate fi cuplat cu un temporizator electronic realizat după schema dată în articolul de față. Se obține astfel un expotemporizator, aparat care dă posibilitatea efectuării de măritări fotografice cu rândament de lucru și comoditate sporite.

PRINCIPIUL DE FUNCȚIONARE

În figura 1 este dată schema bloc a exponometrului cuplat cu temporizatorul. În ceea ce privește secțiunea „exponometru”, cititorul poate găsi explicații necesare în revista mai sus menționată. Reamintim doar faptul că montajul efectuează măsurarea punctuală a luminii la nivelul planșetei aparatului de mărit și indică numeric timpul de expunere necesar, în intervalul 0,1 — 99,9 secunde.

Temporizatorul transferă cele trei cifre — care reprezintă timpul de expunere — în trei numărătoare presetabile reversibile. Apoi, impulsuri cu frecvență de 100 Hz (generată de astabilul A_3 și divizată cu 10) sunt numărate în sens invers de către numărătoare. La atingerea valorii 0, un relé stinge becul aparatului de mărit.

O logică de acționare asigură buna funcționare a ansamblului. Astfel, transferul datelor din exponometru în temporizator se face la apăsarea tastei SET, dar numai după terminarea ciclului de măsură al exponometrului. Începerea expunerii este comandată prin apăsarea tastei START. Comenzile SET-START se interblo-

chează reciproc, iar două LED-uri indică starea în care se află montajul și comanda care este asteptată de la operator.

MODUL DE LUCRU

Înainte de a trece la descrierea schemei electronice, prezentăm succesiunea operațiilor care se execută la efectuarea măririlor fotografice cu ajutorul exponometrului:

- se aprinde becul aparatului de mărit;
- se fac încadrarea, focalizarea și diafragmarea dorită;
- se aşază traductorul exponometrului pe planșeta aparatului de mărit, în zona de interes a imaginii;
- se urmărește pe afișaj valoarea timpului de expunere și se fac eventualele corecții de diafragmare;

— se apasă tasta SET, inscriind valoarea timpului de expunere în temporizator; LED-ul galben al tastei SET se stinge, iar LED-ul verde al tastei START se aprinde, indicând comanda următoare;

— se înălță traductorul de pe planșetă, se stinge becul aparatului de mărit și se aşază hirtia fotografică;

— se apasă tasta START; automat se aprinde becul aparatului de mărit, iar LED-ul verde începe să clipească, indicând fază de expunere;

— după scurgerea timpului de expunere, becul se stinge automat; de asemenea, se stinge LED-ul verde clipitor și se aprinde cel galben de

pe tasta SET; montajul este pregătit pentru un nou ciclu de lucru;

— în orice moment se poate apăsa tasta STOP (marcată de un LED roșu, aprins permanent) pentru a reduce montajul în fază inițială.

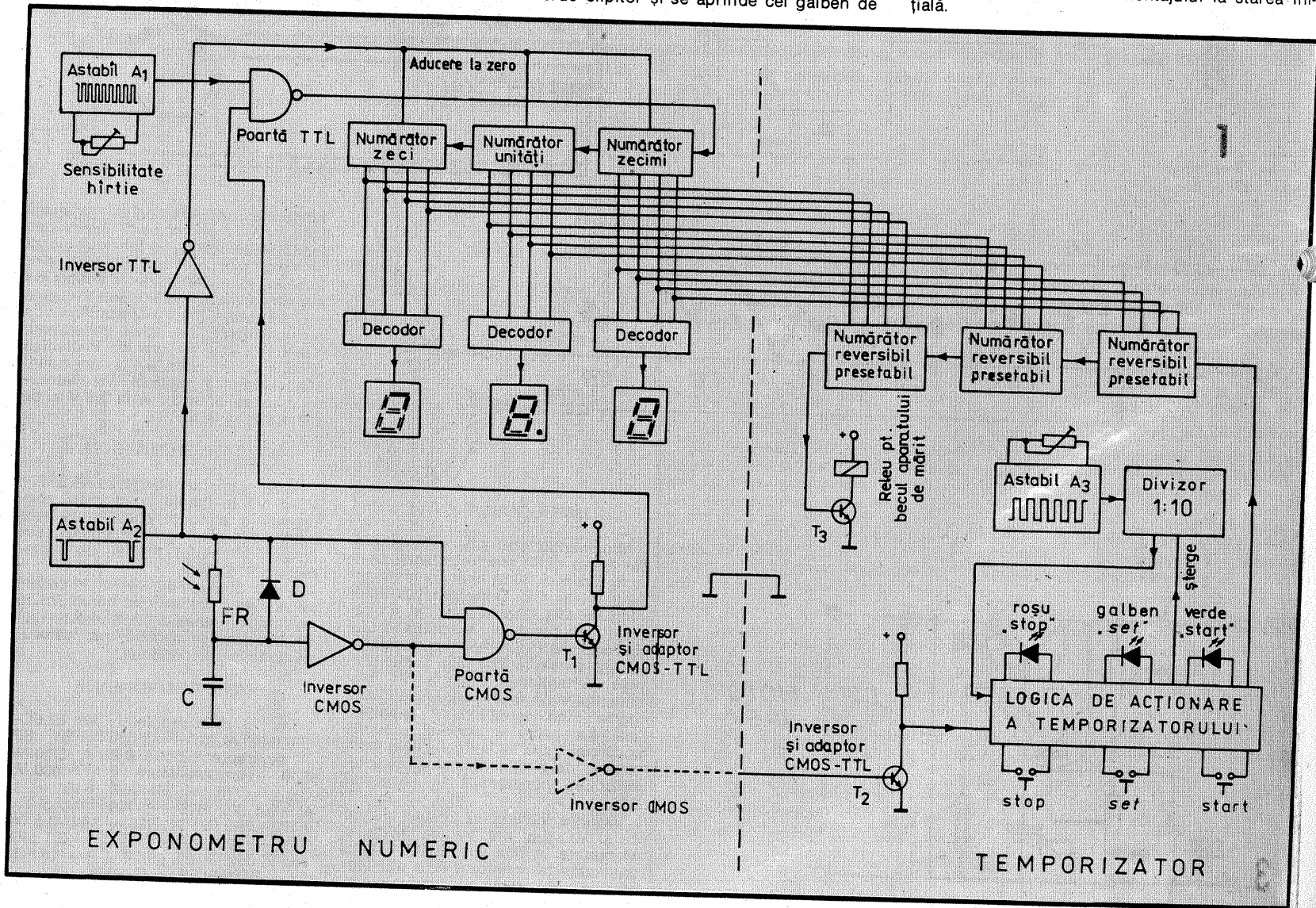
SCHEMA MONTAJULUI

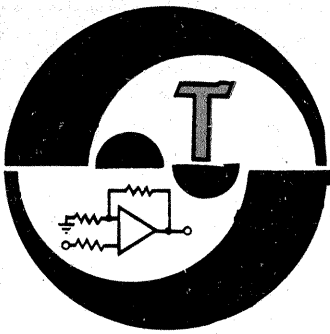
În figura 2 este dată schema detaliată a temporizatorului. Pentru evitarea confuziilor, circuitele integrate și tranzistoarele au fost notate în continuare celor din schema exponometrului.

În schemă distingem astabilul realizat cu $C11$, care generează impulsuri cu frecvență de 100 Hz (ajustabilă din potențiometrul de 10 k Ω). Numărătorul zecimal $C12$ divizează cu 10 această frecvență și aplică 10 Hz pe o intrare a portii S₁-NU ($C13.4$).

Cind este îndeplinită condiția de start, un nivel 1 logic se aplică pe cealaltă intrare (pinul 13) a $C13.4$ și impulsurile trec spre cascada numărătoarelor $C14$, 15, 16, conectate pentru numărare inversă. Aceste numărătoare își decrementeză conținutul, de la valoarea presetată pînă la 000.

La sfîrșitul intervalului de timp, pe ieșirea „împrumut” a lui $C16$ apare un 0 logic. Transformat în 1 logic de către inversorul $C21.6$ și aplicat portii SAU-NU ($C17$), el dă nastere unui nivel 0 logic la ieșirea acestei porti. De aici nivelul 0 se aplică la cele patru bascule tip RS ale montajului ($C19.1$; 19.2; 20.1 și 20.2) și provoacă resetarea acestora, deci revenirea montajului la starea inițială.





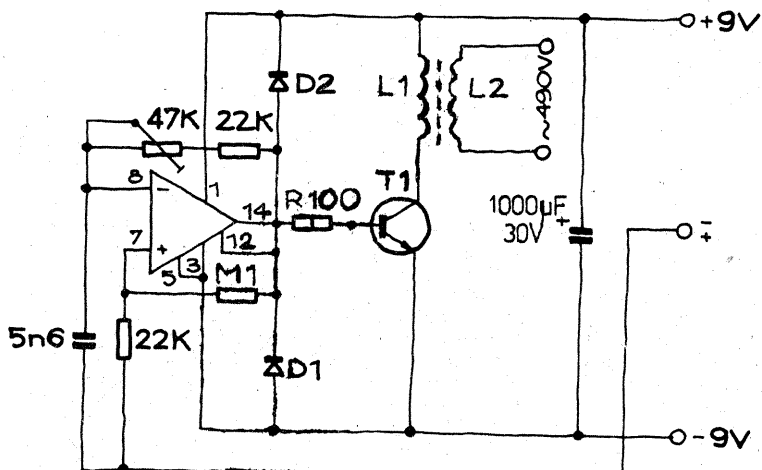
ALIMENTATOR

Pentru alimentarea unui blitz din baterii, cum ar fi FIL-106, se poate folosi montajul alăturat. Circuitul integrat tip MDA2010 formează un oscilator a cărui frecvență se stabilește la aproximativ 8 500 Hz din trimerul de 47 kΩ.

Semnalul este amplificat de tranzistorul T1 tip KUY12 și în secundarul transformatorului se obține o tensiune alternativă de aproximativ 490 V.

Transformatorul se confectionează pe un miez de ferită, în primar având 36 spire CuEm 0,8, iar în secundar 2 400 spire CuEm 0,16. Diodele sunt KA224.

ELEKTRON, 2/1988

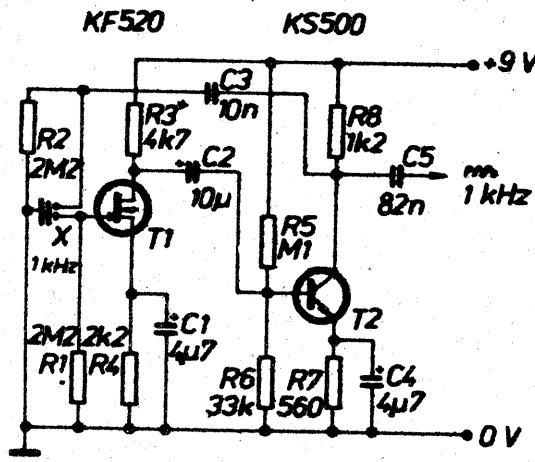


OSCILATOR

Particularitatea schemei constă în faptul că lucrează pe frecvențe foarte mici, și anume între 1 și 10 kHz.

Fenomenul de oscilație se obține prin bucla de reacție de la etajul de ieșire spre unul din terminalele cristalului de cuarț.

AMATERSKE RADIO, 4/1988

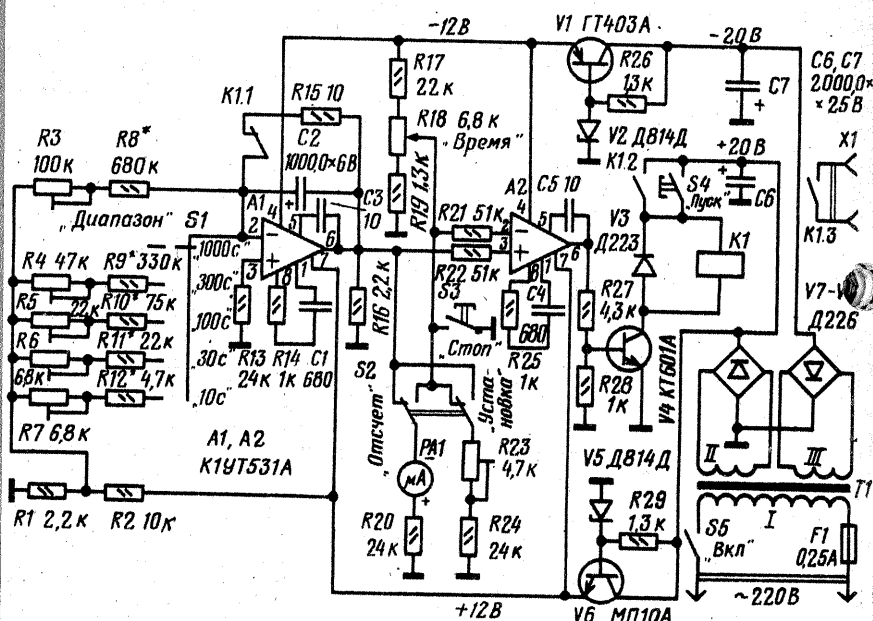


RELEU DE TIMP

Folosind două circuite integrate amplificatoare operaționale se poate realiza un releu de timp de bună precizie, cu o constantă cuprinsă între 0—1 000 secunde.

Această perioadă de timp este împărțită pe cinci game: 10—30—100—300—1 000 secunde. Timpii intermediari în fiecare gamă se stabilesc din R18.

RADIO, 11/1982



AMPLIFICATOR

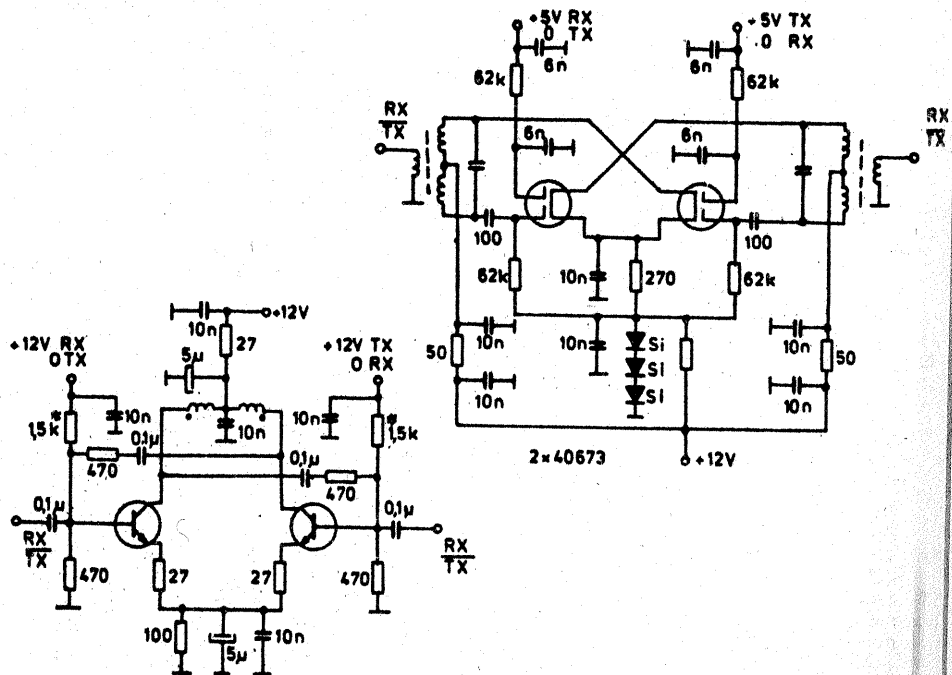
În etajele amplificatoare de radiofrecvență din transceiver se folosesc montaje cu efect dublu sens, adică utile atât în receptie, cât și în emisie.

Comună pentru acestea este sarcina formată dintr-un circuit obținut de cele mai multe ori pe un tor de ferită.

Aceste amplificatoare, montate în general pe frecvență intermediară de 9 MHz, folosesc ca elemente active atât tranzistoare bipolare, cât și MOSFET.

Schitele alăturate reprezintă acest gen de amplificatoare la care comanda pe sens este controlată prin tensiunea de alimentare.

PZK — BULETIN, 8/1985



ANTENĂ PENTRU 144 MHz

Recomandăm radioamatorilor care lucrează în banda de 144 MHz construcția unei antene cu eficiență mare. Acest tip de antenă se recomandă pentru orice tip de stație fixă, dar este contraindicată pentru stații mobile.

- În vederea realizării acesteia sunt necesare următoarele materiale:
- o bucată de bambus cu lungimea de 1,5 m, $\varnothing 15-20$ mm;
 - două bare de aluminiu: L=1 m, $\varnothing 8$ mm;
 - sîrmă de cupru (izolat): L=1,5 m, $\varnothing 1-2$ mm;
 - cablu coaxial de 50-70 Ω (lungimea se alege în funcție de necesitate).

Barele de aluminiu se debitează la o lungime totală de 980 mm, iar la mijlocul lor se practică un orificiu de $\varnothing 3$ mm. De asemenea, cu ajutorul unei pile se face un mic sănț cu o lățime de 8 mm și o adâncime de 4 mm (fig. 1). Barele confectionate astfel pot fi suprapuse, montate în cruce și consolidate de un șurub M3.

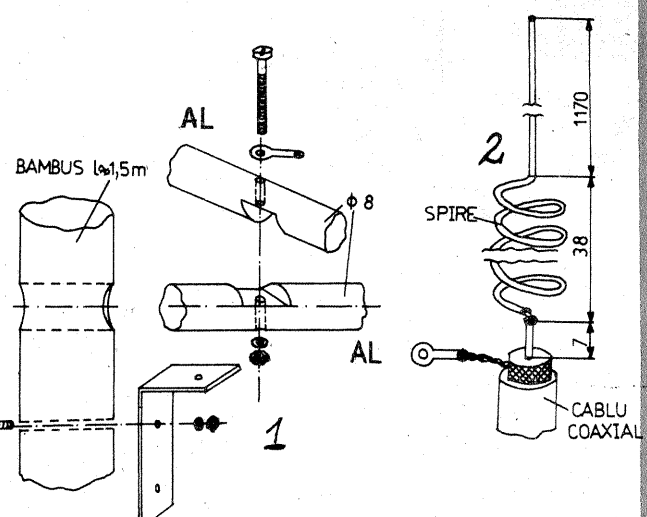
În bambus se practică, la o distanță de 1 250 — 1 300 mm de la vîrf, un orificiu cu $\varnothing 7,9-8$ mm. În acest orificiu se introduce (prin presare) una din barele de aluminiu montate în cruce. Elementul radiant se realizează din sîrmă de cupru.

La o distanță de 1 170 mm de la vîrf (fig. 2) se execută din sîrmă de cupru 11 spire cu lungimea de 38 mm (repartizate în mod egal) cu $\varnothing 6$ mm.

Cabul coaxial se dezizolează pe o lungime de 15-20 mm, tresa se răsușește, firul de cupru din cablul coaxial se cositorește pe o lungime de 7 mm și se lipescă la antenă (fig. 2). Cabul coaxial se fixează de bară de bambus cu cleme.

Dacă se respectă datele, antena pusă în aplicație dă rezultate bune. În cazul în care sunt necesare reglaje, acestea se fac din cele 11 spire prin comprimarea sau întinderea lor. În nici un caz nu trebuie schimbată lungimea firului de cupru (1 170 mm).

În cazul în care antena este montată în aer liber, părțile de îmbinare trebuie protejate de umezeală.



FUNKAMATEUR, 6/1984

ADAPTOR AUDIO

În figură este dată schema unui montaj pentru efecte muzicale diverse — vibrato, tremolo, reverberații —, montaj simplu care utilizează două tranzistoare complementare PNP și NPN, BC107 și BC177. Intrarea e dotată cu un inversor care permite trecerea semnalului de la instrumentul muzical direct, deci fără efect sau prin intermediul dispozitivului electronic. În acest din urmă caz, semnalul BF este aplicat potențiometrului de dozat efectul de distorsiune. Prin reglarea nivelului prelevat de cursor tensiunile sint direjate, prin intermediul unui condensator de $0,1 \mu F$, la baza primului tranzistor T1 — BC107. Un divizor de rezistențe R3 — R4 permite fixarea punctului de repaus al tranzistorului. Rezistența de încărcare R5 de $27 k\Omega$ este comună celor două tranzistoare, legătura de la T1 la T2 fiind directă.

În circuitul emitor al lui T1 este plasată o celulă R6 — C2. Tranzistorul T2 lucrează în saturare și datorită rezistenței R7 ia semnalul deformat pe colectorul tranzistorului T2. O altă celulă R8 — C3 permite dirijarea semnalului deformat spre un corector de tonalitate simplificat prin potențiometrul R11. Urmănd poziția cursorului acestuia se trece prin elementele R9 sau C14. Tensiunea de alimentare a montajului este mică — 1,5 V.

Potențiometrul R11 mai permite păstrarea același nivel la ieșirea spre amplificator, cu și fără dispozitiv.

Modulul realizat se poate introduce într-o cutie metalică în formă de pu-pitru, sub care se plasează un comutator de picior. Alimentarea se face la baterie.

LISTA COMPONENTELOR

R1 — potențiometru $50 k\Omega$ lin; R2 — $3,3 k\Omega$; R3 — $82 k\Omega$; R4 — $100 k\Omega$; R5 — $27 k\Omega$; R6 — $2,7 k\Omega$; R7 — $8,2 k\Omega$; R8 — $10 k\Omega$; R9 — $6,8 k\Omega$; R10 —

În zilele de 24 și 25 septembrie s-au desfășurat la Constanța, în cadrul Festivalului Național „Cintarea României” și al Daciadei, lucrările Simpozionului național YO de comunicări științifice și Campionatul republican de creație științifică și tehnică, manifestări organizate de Federația Română de Radioamatorism cu sprijinul redacției revistei Tehnium și cu sprijinul generos al organelor locale de partid și de stat. În paralel s-a desfășurat și finala pe tară a Cupei U.T.C. în domeniul creației tehnice și al telegrafiei de sală, competiții organizate de C.C. al U.T.C., Secția de pregătire a tineretului pentru apărarea patriei, în colaborare cu Federația Română de Radioamatorism.

Manifestările din acest an — Simpozionul și Campionatul de creație tehnică — au constituit pentru cei peste 400 de participanți, radioamatori cu activitate în cadrul unor unități de producție, instituții de învățămînt superior, centre de calcul, institute de cercetare, șefi ai radiocluburilor județene, specialiști, un util și fructuos schimb de experiență și idei.

În cadrul lucrărilor Simpozionului au fost prezentate referate de o elevată ținută științifică referitoare la construcția aparatului destinate traficului de radioamator, a aparatelor de măsură și control, despre propagarea undelor electromagnetice în diverse condiții și medii, despre stabilirea legăturilor radio la mare distanță, multe referate prezentând aparatură de înalt nivel tehnic cu mare aplicabilitate și în economia națională.

Au fost în mod deosebit urmărite cu interes referatele: Informatica

MANIFESTĂRI ALE RADIOAMATORILOR



(ing. Cristian Colonati, YO4UQ), Traficul radio Pămînt-Lună-Pămînt (ing. Iulius Suli, YO2IS). Calculul, construcția și verificarea transformatoarelor de bandă largă pe tor de ferită (Constantin Ștefănescu, YO3BD), YO-DX — Clubul și performanțele membrilor săi (Vasile Iliaș, YO3CR).

În timpul manifestărilor au fost proiectate filme despre economia de energie și activitatea tinerilor în domeniul radioamatorismului puse la dispoziție de Centrul de Informare O.N.U.

Expoziția de creație tehnico-științifică organizată cu prilejul Concursului de creație s-a bucurat de un deosebit interes în rîndul specialiștilor și numerosilor conștanțeni. Iată acum și numele cîștigătorilor titlurilor de campioni ai R.S.R. la fiecare

categorie, seniori și juniori.

A. Aparatură de trafic US și UUS, juniori: Laurențiu Horodnic, YO3-2270/BU (Amplicator recepție pentru 144 MHz și 432 MHz); seniori: Mihai Pîrvu, YO4SX, și Radu Bratu, YO4HW (Cîmp de antene US și UUS).

B. Aparatură RGA și telegrafie, juniori: Robert Vorschi, YO6-5501/BV (Radioreceptor RGA pe 3,5 MHz); seniori: Constantin Nae, YO9DLT (Emițător automat pe 3,5 și 144 MHz).

C. Aparate de măsură și automatizări, juniori: Eugen Morariu, YO9-13142/DB (Comutator electronic cu 10 spoturi pentru osciloscop); seniori: Constantin Tudose, YO7AOT (Osciloscop cu dublu spot).

D. Aparatură pentru tehnică de calcul, juniori: Iuhasz Attila, YO5QDD (Microcalculator CIP1 8085/A); seniori: Virgil Grigoriu, YO3DFH, și Valentin Brînzan, YO3BBK (Receptor FM în banda 950—1 750 MHz).

Iată și rezultatele Cupei U.T.C. la concursul de creație tehnică: Aparatură pentru activitatea pregătirii tineretului pentru apărarea patriei: locul I — Monica Grigoriu, Bacău (Aparat pentru dezvoltarea reflexelor); Aparatură de trafic US și UUS: locul I — Petre Călea, YO9FJT, Teiorman (Transceiver multiband); Aparatură RGA și telegrafie: locul I — Gabriel Drăgan, YO2-1797/HD (Stație automată de emisie pentru RGA cu ceas și automat de manipulare); Aparatură de măsură și automatizări: locul I — Cristian Manu, YO7-18754/VL (Frecvențmetru digital cu memorie); Aparatură de

tehnică de calcul: locul I — Cătălin Bratu, YO4QF, Constanța (Interpretor FORTH pentru calculatorul LB/881).

Pentru realizări deosebite în activitatea de telegrafie și radiogoniometrie redacția revistei Tehnium a acordat premii în valoare de 500 lei următorilor tineri: Felicia Sonoc și Gabriel Drăgan, ambii din Hunedoara, Anca Rudeanu din Bacău și Gabriela Dabija din București.

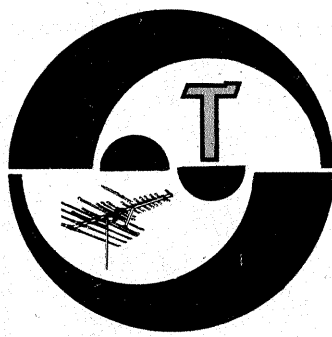
Au fost acordate pentru merite deosebite în activitate și în organizarea manifestărilor desfășurate la Constanța diplome ale revistei Știință și tehnică și diplome ale revistei Tehnium următorilor radioamatori: Maria Dorobanțu, YO4DCY, Mihai Dorobanțu, YO4CBT, Nela Pîrvu, YO4-2878/CT, Mihai Pîrvu, YO4SX, Ioana Leonte, YO4FEV, și Gheorghe Leonte, YO4BXV.

Din partea redacției revistei Tehnium au mai fost acordate premii în obiecte unor tineri radioamatori.

Pentru excelentele condiții puse la dispoziția participanților, pentru excelenta organizare a manifestărilor, Comisiei județene de radioamatorism din Constanța i-a fost acordată din partea revistei Tehnium o frumoasă cupă.

La sfîrșitul lucrărilor radioamatori și-au fixat întîlnirea viitoare în 1989 în județul Bacău, an ce va marca a X-a ediție a unor extrem de utile și valoroase manifestări.

C. STĂNCULESCU



SERVICE

rele trimer existente în montaj se reface acordul fin.

STANCIU FĂNEL — jud. Dolj

Un selector de canale TV se poate repara numai la un atelier specializat.

Schimbând bobinele într-un receptor, acesta va pierde calitățile electrice datorită dezacordării circuitelor oscilante.

PREDA FLORIN — Slatina

Greu de depanat un radiocasetofon prin corespondență. Frevența intermedie sunet în normă CCIR are valoarea 5,5 MHz, iar în normă OIRT 6,5 MHz.

BERCAS ION — jud. Olt

Vom reveni asupra construcției aparatului și antenelor în domeniul UHF-VHF.

MARIN LUCIAN — București

Tranzistorul la care vă referiți este echivalent cu BF245 sau BF110 (atenție cum apare notația în schemă).

DIMITRIAN LIVIU — jud. Bozani

Linia verticală apare din întreuperea legăturii între transformatorul linii și bobinele de deflexie.

Tranzistoarele BF200 și BF245 sunt de producție autohtonă.

Pentru amplificatorul de putere este necesar și un preamplificator corrector.

MARTON FLORIAN — jud. Prahova

Absorbția unei puteri mai mari produce arderea sigurantelor.

PETER ROBERT — jud. Covasna

Construiți o antenă Yagi pentru canalul 4 TV.

Tranzistoarele la care vă referiți, BFX90 și BFX89, sunt eficiente pentru banda UHF.

CRIHAN DAN — București

Zgomotul provine de la motorul de antrenare care produce vibrații mecanice.

CĂLINESCU RADU — jud. Suceava

Antena la care vă referiți este o improvizare, neputind depăși calitățile unui dipol.

SPIRIDON ION — Bacău

Construiți schema de amplificator la care vă referiți (cîte un amplificator pentru fiecare canal TV doar).

SIEFESCU GH. — jud. Olt

Înlocuiți filtrele ceramice cu circuite LC acordate pe 6,5 MHz. Eventual procurați filtre ceramice pe 6,5 MHz.

POPESCU MUGUREL — Craiova

Circuitalul A2030 poate fi utilizat ca amplificator AF.

GHIZDAVU DANIEL — Caracal

Defecțiunea nu provine de la tubul cinescop. Apelați la serviciile reprezentanței „Electronica”.

Antiparazitarea se efectuează la autovehicule și nu în televizor. Despre cuplarea antenelor am publicat mai multe articole.

ROMAN ALIN — jud. Cluj

Verificați starea condensatoarelor de decuplare din etajele de radiofrecvență.

NEAGU FELIX — Galați

Consultați rubrica HI-FI.

I.M.

